

# საქართველოს ტექნიკური უნივერსიტეტი

ნინო დარახველიძე

Si-Al-O-N სისტემაში მაღალცეცხლგამძლე კომპოზიტების  
მიღება და თვისებების შესწავლა

სადოქტორო პროგრამა –ქიმიური და ბიოლოგიური ინჟინერია  
შიფრი-0410

## ავტორეფერატი

დოქტორის აკადემიური ხარისხის მოსაპოვებლად  
წარდგენილი დისერტაციის

თბილისი

2016

სამუშაო შესრულებულია საქართველოს ტექნიკური უნივერსიტეტის  
ქიმიური ტექნოლოგიისა და მეტალურგიის ფაკულტეტის ქიმიური  
ტექნოლოგიის დეპარტამენტის ბიონანოსამედიცინო, პერამიკული და  
პოლიმერული კომპოზიტების ტექნოლოგია, ინსპექცია, კონტროლი  
მიმართულებაზე.

ხელმძღვანელები: პროფ. ზ. კოგნირიძე  
პროფ. ნ. ნიუარაძე

რეცენზენტები: -----  
-----

დაცვა შედგება -----წელი”-----“-----, -----საათზე  
საქართველოს ტექნიკური უნივერსიტეტის ქიმიური ტექნოლოგიისა და  
მეტალურგიის ფაკულტეტის სადისერტაციო საბჭოს კოლეგის  
სხდომაზე, კორპუსი -----, აუდიტორია -----  
მისამართი: 0175, თბილისი, კოსტავას 77.

დისერტაციის გაცნობა შეიძლება საქართველოს ტექნიკური  
უნივერსიტეტის ბიბლიოთეკაში, ხოლო აგტორეფერატის-ფაკულტეტის  
გებ-გეგრდზე

სადისერტაციო საბჭოს მდივანი-----

## ნაშრომის ზოგადი დახასიათება თემის აქტუალურობა

თანამედროვე ტექნიკის სწრაფი განვითარება მოითხოვს მაღალი საექსპლოატაციო თვისებების მქონე მასალების შექმნის აუცილებლობას. ასეთ მასალებს მიეკუთვნებიან მაღალი ცეცხლგამძლე ოქსიდებისა და ძნელდობადი უჟანგბადო ნაერთების ბაზაზე მიღებული კომპოზიტები.

მიუხედავად მაღალცეცხლგამძლე ოქსიდებისაგან მიღებული მასალების დიდი უპირატესობისა (მაღალი სიმკვრივე და სიმტკიცე, მათ შორის გახურებისას, მგდრალობა დამუანგავი გარემოს ზემოქმედების მიმართ) ის ძირითადად გამოირჩევა მაღალი თერმული გაფართოების კოეფიციენტით და შედეგად დაბალი თერმული მედეგობით.

უჟანგბადო ძნელდობადი ნაერთების კერამიკა, კერძოდ, სილიციუმის კარბიდის, პირიქით, ხასიათდება დაბალი თერმული მედეგობით მაღალი სიმტკიცისა და სისალის პირობებში, მაგრამ ადვილად იჟანგებიან დაწყებული  $1200^{\circ}\text{C}$ -დან. გარდა ამისა, უჟანგბადო ნაერთები (კარბიდები, ნიტრიდები, სილიციდები, ბორიდები) ცუდად შეცხვებიან.

ამიტომ ისეთი კომპოზიტის მიღება, რომელიც გააერთიანებდა, როგორც ოქსიდური, ასევე უჟანგბადო ნაერთების ყველა უპირატესობას (ლირსებას) და გამორიცხავდა მათ ნაკლს თანამედროვე მასალათმცოდნეობის აქტუალური ამოცანაა. ასეთ მასალებს მიეკუთვნებიან სიალონები.

სიალონები წარმოადგენენ მეტალთან ოქსიდების მყარ ხსნარს ნიტრიდებში, შედგებიან სილიციუმის, ალუმინის ჟანგბადის და აზოტისაგან და იწოდებიან სიალონებად. ისინი ხასიათდებიან უნიკალური თვისებების შეხამებით. სიმტკიცე მაღალ ტემპერატურებზე ( $1500-1800^{\circ}\text{C}$ ), მაღალი ცეცხლგამძლეობით, კოროზიული ცვეთა და თერმული მედეგობა, სისალე და ითვლებიან ისეთ მასალებად, რომელთაც ამჟამად აქვთ ტექნოლოგიური და კომერციული პერსპექტივები.

სიალონების მიღება სხვადასხვა მეთოდით ხდება: პლაზმოქომიური, ზოლ-გელ ტექნოლოგიით, ქიმიური, რეაქციული შეცხობის, ცხელი დაწესების, მაღალტემპერატურული თვითგავრცელებადი სინთეზის და სხვა.

აღნიშნული მეთოდებით სიალონების მიღებისას წინასწარ ცხელი დაწესების მეთოდით მიღებული  $\text{Si}_3\text{N}_4$ ,  $\text{AlN}$  და  $\text{Al}_2\text{O}_3$ -ის გამოყენება საკმაოდ ზრდის კომპოზიციური მასალების დირებულებას.

ტექნოლოგია მნიშვნელოვნად მარტივდება და თვითდირებულება მცირდება, თუ მის დასამზადებლად იქნება გამოყენებული ნედლეული, რომელიც არ საჭიროებს სერიოზულ ქიმიურ გასუფთავებას ან გადამუშავებას. მაგალითად ალუმინიკატური ნედლეული-კაოლინი.

კაოლინზე ალუმინის პუდრის და ელემენტარული სილიციუმის დამატებით ალუმინორმული და აზოტირების პროცესებით ჩვენს მიერ მიღებულია კომპოზიციური მასალები ბ-სიალონური მატრიცით, რომლებიც ხასიათდებიან მაღალი ფიზიკურ-ტექნიკური თვისებებით, რომელსაც კიდევ უფრო აუმჯობესებს სილიციუმის კარბიდისა და კორუნდის დამატება.

## სამუშაოს მიზანი

სამუშაოს მიზანს შეადგენს ინოვაციური მაღალი ტექნოლოგიის შექმნა კომპლექსურად მაღალი საექსპლოატაციო თვისებების სიალონშემცველი კომპოზიტის მისაღებად. ინოვაციას წარმოადგენს ალუმინორმიული და აზოტირების კომპლექსურ პროცესში, რეაქციული შეცხობისა და შემდგომში ცხელი წესების მეთოდით სასურველი ფაზური შედგენილობის სიალონის მიღება.

## კვლევის ობიექტი და მეთოდები

კვლევის ობიექტს შეადგენდა გამოყენებული ნედლეული და მათ ბაზაზე მიღებული კომპოზიტები  $\text{SiC}$  და  $\text{Al}_2\text{O}_3$  სიალონური შემკვრელით

და რეაქციული შეცხობისა და შემდგომი ცხელი დაწნებების მეთოდით  
მიღებული კომპოზიტები CH-6, CH-7, CH-8.

სამუშაოს შესასრულებლად გამოყენებულ იქნა კვლევის  
თანამედროვე მეთოდები. ფიზიკურ-მექანიკური მახასიათებლების  
განსაზღვრისათვის სახელმწიფო სტანდარტებით დადგენილი მეთოდები  
და ხელსაწყო-დანადგარები:

- ✓ ცეცხლგამძლეობა. მაღალტემპერატურული სილიტის ღუმელი.
- ✓ თერმული მედეგობა. მაღალტემპერატურული სილიტის ღუმელი.
- ✓ სიმტკიცის ზღვარი კუმულისას. ჰიდრავლიკური წნევი.
- ✓ ფორიანობა და სიმკვრივე. ვაკუუმური აპარატი.
- ✓ რენტგენსტრუქტურული ანალიზი. დიფრაქტომეტრი “Дрон-3”.
- ✓ ელექტრონული მიკროსკოპია. რასტრული ელექტრონული  
მიკროსკოპი.
- ✓ ცხელი დაწნებების მეთოდი, მაღალტემპერატურული ვაკუუმური  
ღუმელი OXY-GON(Model № FR210-30T-A-200-EVC)
- ✓ დინამიური მიკროსისალისა და ინდენტირების მოდულის  
განსაზღვრის მეთოდი. დინამიურ ულტრა მიკროსისალის  
ტესტერზე DUH-211S.
- ✓ მიკრორენტგენსპექტრული ანალიზი. OXFORD instrumentals  
დეტექტორზე X-max.

### ნაშრომის ძირითადი შედეგები და მეცნიერული სიახლე

- ✓ დადგენილია, რომ შედარებით მარტივი ტექნოლოგიით და იაფი  
ნედლეულით მიღებულია მაღალი საექსპლოაციო თვისებების  
კომპოზიტები სიალონური მატრიცით.
- ✓ დადგენილია სიალონური კომპოზიტის მისაღებად  
ალუმინიუმული პროცესის უპირატესობა კარბოთერმულთან  
შედარებით.
- ✓ დადგენილია, რომ ნიტროალუმინიურმული მეთოდით პირველად  
მიიღება ალუმინის ნიტრიდი, კარალულურად მიმდინარეობს

ალუმინუმული პროცესი  $\text{SiO}_2$ -ის აღდგენით  $\text{Si}-\text{მდკ,შემდეგ } \text{Si}_3\text{N}_4$  და საბოლოოდ ხდება სიალონის მყარი ხსნარის მიღება.

- ✓ დადგენილია, რომ კომპოზიტის CH-6 მიღება სამფაზიანი. ერთი არის  $\beta$ -სიალონი, მეორე სილიციუმის კარბიდი, მესამე-კორუნდი.  
CH-7-კორუნდი და სიალონი.  
CH-8- სილიციუმის კარბიდი და სიალონი.

## შედეგების გამოყენების სფერო

მიღებული კომპოზიტების გამოყენება შესაძლებელია რაკეტულ-კოსმიურ ტექნიკაში, მაღალტემპარატურული ნაკეთობების კომპოზიციური დამფარავების სახით, მაღალტემპარატურული ღუმელის ამონაგის, თერმოწყვილის დამცავი გარსაცმების დასამზადებლად, ლითონსაჭრელი ინსტრუმენტების სახით, ლითონისა და ქვის დასამუშავებლად, კბილის საბურდ მოწყობილობებში, საკისრებში და სხვა.

## დისერტაციის მოცულობა და სტრუქტურა

ნაშრომი შედგება შესავლის, ლიტერატურული მიმოხილვის, სამი თავისა და დასკვნისაგან, წარმოდგენილია ნაბეჭდ გვერდზე, შეიცავს 27 ცხრილს, 48 ნახაზს და ერთვის ციტირებული ლიტერატურის ნუსხა (147 დასახელება).

## ნაშრომის შედეგები

- ✓ კლემა ჩატარებულია სიალონის მისაღები მეთოდის შერჩევის მიზნით.
- ✓ მიღებულია  $\text{C}_1, \text{C}_2, \text{C}_3$  შედგენილობის ნიმუშები აზოტის გარემოში გამოწვისას, წარმოიქმნა X-სიალონი მულიტის სტრუქტურით.

- ✓ სილიციუმის კარბიდისა და კორუნდის ალუმინის პუდრასთან  
ნარევის აზოტის გარემოში გამოწვით მიღებულია კომპოზიტები  
 $\text{SiC}$ -სიალონური შემკვრელით და  $\text{Al}_2\text{O}_3$ -სიალონური შემკვრელით.
- ✓ შესწავლილია რეაქციული შეცხობის მეთოდით მიღებული  
კომპოზიტები  $\text{CH}-1$ ,  $\text{CH}-2$ ,  $\text{CH}-3$  და მიმდინარე ფიზიკურ-ქიმიური  
პროცესები.
- ✓ რეაციული შეცხობით მიღებული კომპოზიტების  $\text{CH}-6$ ,  $\text{CH}-7$ ,  $\text{CH}-8$   
ცხლად დაწესების შემდეგ დადგინდა მათი ფიზიკურ-ტექნიკური  
თვისებები და ფაზური შედგენილობა.
- ✓ კვლევები ჩატარებულია რენტგენოსტრუქტურული,  
ელექტრონული მიკროსკოპის და მიკრორენტგენოსკოპიული  
ანალიზებით.
- ✓ მიღებული მასალების დინამიური მიკროსისალე და დრეპადობის  
მოდული განისაზღვრა თანამედროვე ISO-14577 საერთაშორისო  
სტანდარტის მოთხოვნების შესაბამის დინამიურ ულტრა  
მიკროსისალის ტესტერზე DUH211S.

### გაოლინის ბაზაზე აზოტის გარემოში მიმდინარე კარბო და ალუმინორმული პროცესები

შევადგინეთ ნარევები კაოლინზე ნახშირბადის დამატებით ( $C_1$ ),  
კაოლინზე ალუმინის პუდრის დამატებით ( $C_2$ ) და ნახშირბადისა და  
ალუმინის პუდრის ნარევის ( $C_3$ ) დამატებით, ნარევების შედგენილობა  
წარმოდგენილია ცხრილში 1.

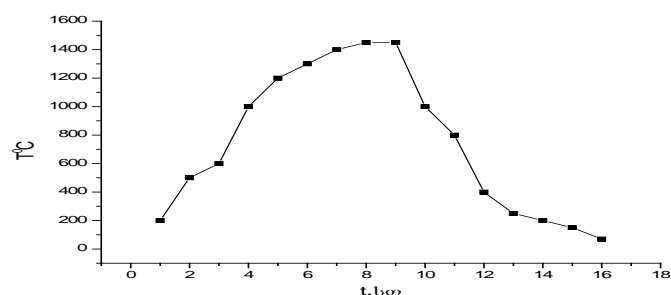
ცხრილი 1. ნარევის შედგენილობა და მიღებული ნიმუშების ფიზიკურ-  
ტექნიკური მახასიათებლები

ინდექსი	ნარევის შედგენილობა, მას. %			მახასიათებლები			
	კაოლინი	ნახშირბა და	ალუმინი	სიმტკიცი ზღვარი კუმუნის ტექნიკური სპეციალის მას.	ლია ფორმანობ w, %	სიმკვრივე გ/სგვ	ცეცხლოვა ძ, T, °C
$C_1$	82	12	-	170	15,0	1,55	> 1770
$C_2$	88	-	12	210	13,4	1,52	> 1770
$C_3$	88	6	6	160	16,8	1,50	>1770

ნიმუშები დამზადდა ცილინდრული ფორმის, ზომით d-15მმ, ნახევრადმშრალი მეტოდით, დაყალიბების წნევა იყო 20 მპა. შრობის შემდეგ გამოიწვა ღუმელში  $1400^{\circ}\text{C}$  ტემპერატურაზე. ბოლო ტემპერატურაზე ერთსაათიანი დაყოვნებით. ნიმუშების გამოსაწვავი დანადგარი შედგება ღუმელისაგან-1 სილიციუმის კარბიდის გამახურებლებით, მარკა TK 30/200. აზოტი ღუმელს მიეწოდება ბალონიდან-2, რეზინის მილის საშუალებით, რომელზეც ონკანია-3 მოთავსებული. ღუმელის შესასვლელში დრექსელის-4 გავლით რეგულირდება ბალონიდან გამოსული აზოტის სიჩქარე. რის შემდგაც აზოტი შედის ცეცხლგამძლე კორუნდის მილში -5, რომელიც ორივე მხრიდან გერმეტულად არის დახურული. მილს ერთი ბოლოდან მიეწოდება აზოტი, ხოლო მეორე ბოლოდან გამოსასვლელზე ჩართულია წყლიანი დრექსელი-6. იგი არეგულირებს წნევას ღუმელში. ღუმელის ტემპერატურა რეგულირდება ტრანსფორმატორისა-7 და მასთან მიერთებული ვოლტმეტრის-8 საშუალებით. ტემპერატურის აწევის სიჩქარეა  $250^{\circ}\text{C}$  საათში.



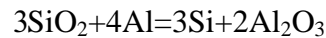
ნახ. 1. ნიტროალუმოთერმული პროცესებით ნიმუშების გამოსაწვავი დანადგარი



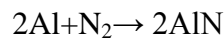
ნახ. 2. რეაქციული შეცხობის მეტოდით ნიმუშების გამოწვის ტემპერატურული რეჟიმი

როგორც გრაფიკიდან (ნახ. 2.) ჩანს 0-დან  $1400^{\circ}\text{C}$ -მდე ტემპერატურის მატების სიჩქარე სხვადასხვაა.

$800-1000^{\circ}\text{C}$  ტემპერატურულ ინტერვალში მიმდინარეობს ალუმინით სილიციუმის აღდგენის ეგზოთერმული პროცესი შემდეგი რეაქციით:



$1000^{\circ}\text{C}$ -დან  $1200^{\circ}\text{C}$ -მდე წარმოიქმნება  $\text{AlN}$  შემდეგი რეაქციით :



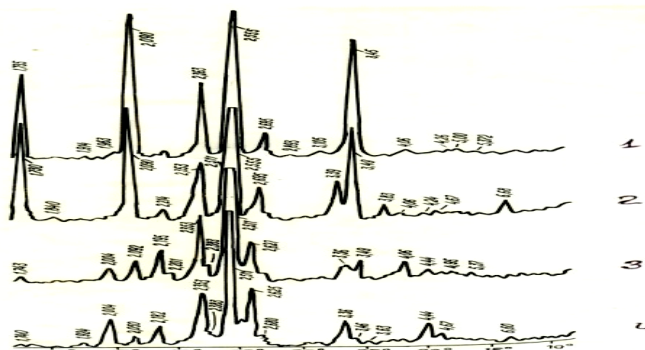
და იწყება სილიციუმის ნიტრიდის წარმოიქმნა:  $3\text{Si} + 2\text{N}_2 \rightarrow \text{Si}_3\text{N}_4$

რომელიც ინტენსიურად მიმდინარეობს  $1200^{\circ}\text{C}$ -დან.  $1200$ -დან  $1400^{\circ}\text{C}$ -მდე მიღის ძირითადად აზოტირების პროცესი,  $1400^{\circ}\text{C}$ -ზე ვაყოვნებთ 1 საათს. ნიმუშები ცივდება დუმელთან ერთად.

შევისწავლეთ გამომწვარი ნიმუშების ფიზიკურ-ტექნიკური თვისებები ცხრილი 1. როგორც ცხრილი 1-დან ჩანს, მაღალი ფიზიკურ-ტექნიკური მახასიათებლებით გამოირჩევა  $\text{C}_2$ , შემდეგ  $\text{C}_1$  და  $\text{C}_3$ .

მიღებული ნიმუშების ფაზური შედგენილობის დასადგენად კვლევა ჩატარდა რენტგენოსტრუქტურული ანალიზით (ნახ. 3).

კაოლინის (სურ.3<sub>1</sub>) ძირითადი ფაზაა მულიტი:  $d_{hkl}$ - 5,37; 3,41; 3,385; 2,886; 2,695; 2,547; 2,43; 2,29; 2,175; 1,866 Å. შეიცავს კრისტობალიტს  $d_{hkl}$ - 4,06 Å და არის აგრეთვე რენტგენომორფული ფაზა.



ნახ. 3. ნიმუშების რენტგენოგრამები

1) კაოლინის ; 2)  $\text{C}_1$  ; 3)  $\text{C}_2$  4)  $\text{C}_3$

ნიმუში  $\text{C}_1$ -ის რენტგენოგრამაზე (სურ. 3<sub>2</sub>) მულიტის დამახასიათებელი დიფრაქციული მაქსიმუმები კაოლინთან შედარებით უფრო მაღალი ინტენსიონითაა  $d_{hkl}$  - 5,38 ; 3,41-3,335 ; 2,908 ; 2,635 ; 2,546 ; 2,435 ; 2,29 ; 2,210 ;

კრისტობალიტს შეიცავს უფრო მცირე რაოდენობით. შესაძლებელია, რომ ნახშირბადი ადვილად აღადგენს კაოლინის დაშლის შედეგად წარმოქმნილ  $\text{SiO}_2$ -ს ელემენტარულ სილიციუმამდე რომელსაც ნიტრირების გზით უნდა წარმოექმნა სილიციუმის ნიტრიდი ან ოქსინიტრიდი, მაგრამ რენტგენოგრამაზე, კვალის სახითაც, არ შეინიშნება მათი დამახასიათებელი დიფრაქციული მაქსიმუმები. რენტგენოგრამაზე გამოსახულია მულიტის გაზრდილი პიკები. რას შეიძლებოდა გამოეწვია კაოლინთან შედარებით მულიტის გაზრდა და რატომ არ ჩანს რენტგენოგრამაზე სილიციუმის ნიტრიდი ან ოქსინიტრიდი?

როგორც ზემოთ ავდნიშნეთ, კარბოთერმული აზოტირების შედეგად წარმოიქმნა მულიტი, კაჟმიწა და თავისუფალი სილიციუმი, რომელიც აზოტის გარემოში სავარაუდოდ აზოტთან ქიმიური რეაქციის შედეგად მოგვცემდა სილიციუმის ნიტრიდს ან ოქსინიტრიდს. კაოლინის დაშლის შედეგად ნარევში იქნებოდა  $\text{Al}_2\text{O}_3$ -ც.

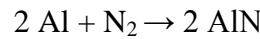
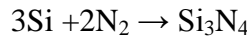
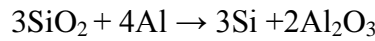
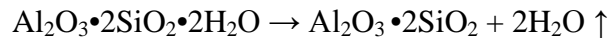
რენტგენოგრამაზე გამოსახული მნიშვნელოვნად გაზრდილი მულიტის პიკი მიმანიშნებელია იმისა, რომ წარმოიქმნა X სიალონი- $\text{SiAlON}$  მულიტის სტრუქტურით.

$\text{C}_2$  -ნიმუშის რენტგენოგრამაზე (სურ. 3) კაოლინთან შედარებით უფრო გაზრდილი პიკია, მისი დამახასიათებელი  $d_{\text{hkl}}$  – 5,37; 3,41-3,385; 2,886; 2,695; 2,546; 2,285; 2,208 Å .

$\text{C}_1$ -თან შედარებით უფრო ნაკლები რაოდენობითაა წარმოქმნილი მულიტი. ნარევი კაოლინ-ალუმინისაა (ცხრ.1). მოსალოდნელი იყო  $\text{SiO}_2$ -ის აღდგენა ალუმინით და შემდეგ ალუმინის ან სილიციუმის ნიტრიდების წარმოქმნა. აშკარად შეინიშნება მულიტის უფრო ნაკლები ინტენსიურობა  $\text{C}_1$ -თან შედარებით. ეს გამოწვეული შეიძლება იყოს იმით, რომ რენტგენოგრამაზე არის a- $\text{Al}_2\text{O}_3$ -ის დამახასიათებელი დიფრაქციული მაქსიმუმები:  $d_{\text{hkl}} = 3,41 ; 2,546 ; 2,376 ; 2,09$ .  $\text{C}_3$  - ნიმუშების რენტგენოგრამაზე (სურ.34) კაოლინთან ნახშირბადისა და ალუმინის პუდრის ერთნაირი თანაფარდობაა აღებული. იგივე მულიტის დამახასიათებელი პიკებია უფრო მაღალი ინტენსიობით, ვიდრე კაოლინში და ნაკლები  $\text{C}_1$ -თან შედარებით.

ჩატარებული ექსპერიმენტის შედეგების ანალიზით ჩანს, რომ  $C_1$ ,  $C_2$ ,  $C_3$  შედგენილობის ნარევების აზოგის გარემოში გამოწვისას  $1400^{\circ}\text{C}$ -ზე მიიღება  $X$ -სიალონი, მულიტის სტრუქტურით.

მიღებული შედეგებიდან ჩანს, სამივე შემთხვევაში განხორციელდა კაჟმიწის აღდგენისა და შესაბამისად სილიციუმის ნიტრიდის წარმოქმნის და შედეგად  $X$ -სიალონის მიღების პროცესები შემდეგი რეაქციების მიხედვით:



შემდეგი პელევისათვის ჩვენ შევარჩიეთ სიალონების მიღების ალუმინო-მული მეთოდი, ვინაიდან წარმოქმნილი კომპოზიტი  $C_2$  ხასიათება უფრო მაღალი ფიზიკურ-ტექნიკური მაჩვენებლებით (ცხრილი 1).

## სილიციუმის კარბიდისა და კორუნდის ბაზაზე ცეცხლგამძლე კომპოზიტის მიღება სიალონშემცველი შემკვრელით

პელევისათვის შევადგინეთ ნარევები:

1. კორუნდი-კაოლინი-ალუმინის პუდრა.
2. კორუნდი-კაოლინი-ალუმინის პუდრა-სილიციუმი.
3. სილიციუმის კარბიდი-კაოლინი-ალუმინის პუდრა.
4. სილიციუმის კარბიდი-კაოლინი-ალუმინის პუდრა-სილიციუმი.

ნარევების შედგენილობები წარმოდგენილია ცხრილში 2.

ნიმუშები გამოიწვა დუმელში-აზოგის გარემოში  $1350$ ,  $1400$  და  $1450^{\circ}\text{C}$  ტემპერატურაზე. ბოლო ტემპერატურაზე ერთსაათიანი

დაყოვნებით. გამომწვარი ნიმუშების ფიზიკურ-ტექნიკური მახასიათებლები წარმოდგენილია ცხრილებში 2, 3, 4.

ცხრილი 2. ნარევის შედგენილობა და  $1350^{\circ}\text{C}$ -ზე გამომწვარი ნიმუშების ფიზიკურ-ტექნიკური მახასიათებლები.

ინდექსი	ნარევის შედგენილობა, მას%					მახასიათებლები			
	კაოლინი	ალუმინი	სილიკოზუმი	$\text{Al}_2\text{O}_3$	SiC	სიმტკიცის ზღვარი გუმბგისას, $\sigma_b$ , მპა	ლია გორიანობა W %	სიმკრიცე, $\rho$ , $\Omega/\text{m}^3$	ციცხლ გამტკიცვა T, $^{\circ}\text{C}$
C <sub>4</sub>	13	12	-	75	-	41,5	30,2	2,03	> 1770
C <sub>5</sub>	13	6	6	75	-	46,0	30,6	2,06	-
C <sub>6</sub>	13	12	-	-	75	67,0	28,7	2,12	-
C <sub>7</sub>	13	6	6	-	75	65,0	25,5	2,15	-

ცხრილი 3. ნარევის შედგენილობა და  $1400^{\circ}\text{C}$ -ზე გამომწვარი ნიმუშების ფიზიკურ-ტექნიკური მახასიათებლები.

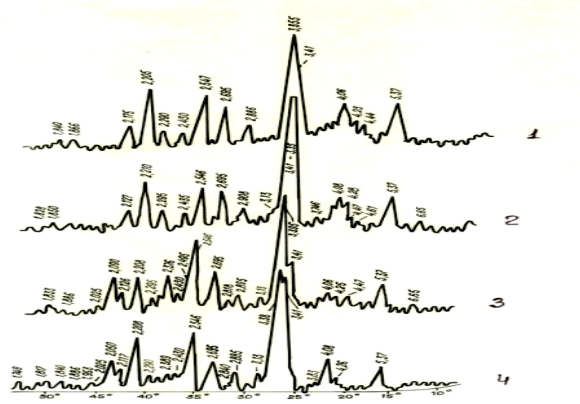
ინდექსი	ნარევის შედგენილობა, მას%					მახასიათებლები			
	კაოლინი	ალუმინი	სილიკოზუმი	$\text{Al}_2\text{O}_3$	SiC	სიმტკიცის ზღვარი გუმბგისას, $\sigma_b$ , მპა	ლია გორიანობა W %	სიმკრიცე, $\rho$ , $\Omega/\text{m}^3$	ციცხლგამ ლობა, T, $^{\circ}\text{C}$
C <sub>4</sub>	13	12	-	75	-	60,7	21,2	2,22	> 1770
C <sub>5</sub>	13	6	6	75	-	71,5	18,5	2,26	-
C <sub>6</sub>	13	12	-	-	75	96,0	17,8	2,28	-
C <sub>7</sub>	13	6	6	-	75	120,5	15,5	2,29	-

ცხრილი 4. ნარევის შედგენილობა და  $1450^0\text{C}$ -ზე გამომწვარი ნიმუშების  
ფიზიკურ-ტექნიკური მახასიათებლები.

ინდექსი	ნარევის შედგენილობა, მას%					მახასიათებლები				
	კარლინი	ალუმინი	ხილიცოქმი	$\text{Al}_2\text{O}_3$	SiC	ნიმუშიცის ზღვარი დუმშესას,	$\sigma_3$ , მპა	ლია ფორიანობა W, %	ნიმუშივე $\rho$ , $\text{g}/\text{cm}^3$	ცეცხლ- გამძლეობა, $T, ^\circ\text{C}$
C <sub>4</sub>	13	12	-	75	-	90,2	16,3	2,28	-	-
C <sub>5</sub>	13	6	6	75	-	92,8	16,1	2,27	-	-
C <sub>6</sub>	13	12	-	-	75	108,8	15,7	2,31	-	-
C <sub>7</sub>	13	6	6	-	75	116,9	15,2	2,33	-	-

როგორც ცხრილებიდან ჩანს, ტემპერატურის მატებისას  $1350$ -დან  $1450^0\text{C}$ -მდე იზრდება ნიმუშების სიმტკიცის ზღვარი კუმშვისას C<sub>4</sub> და C<sub>6</sub> ნიმუშებისათვის. ასევე იზრდება სიმკვრივე, ხოლო ფორიანობა მცირდება. ამასთან აღსანიშნავია, რომ უკეთესი ფიზიკურ-მექანიკური მახასიათებლები მიიღება იმ ნიმუშებისათვის, რომლებიც ნარევში როგორც კორუნდის, ასევე სილიციუმის კარბიდის შემცველობისას (ცხრ. 2, 3, 4). ერთდროულად შეიცავს ალუმინის და სილიციუმს.

ნიმუშების ფაზური შედგენილობის დასადგენად ჩავატარეთ რენტგენოსტრუქტურული ანალიზი.



როგორც C<sub>4</sub>-ის რენტგენოგრამიდან (ნახ. 4) ჩანს, ძირითადი ფაზა კორუნდია  $d_{hkl}$ - 3,45 ; 2,555 ; 2,03 ; 2,09 ; 1,735 Å. არის მულიტის დამახასიათებელი დიფრაქტოული მაქსიმუმები:  $d_{hkl}$ - 5,37 ; 3,45 ; 2,695 ; 2,555 ; 2,195 Å. კრისტობალიტი- 4,06 Å. არარსებობა სხვა ნიტრიდული ფაზებისა: Si<sub>3</sub>N<sub>4</sub>-ის და AlN-ის იმის მაჩვენებელია, რომ Al<sub>2</sub>O<sub>3</sub>-თან ერთად წარმოიქმნა X-სიალონის მყარი სსნარი, მულიტის სტრუქტურით.

C<sub>5</sub>- ნიმუშის, სადაც ნარევში ალუმინის პუდრასთან ერთად არის Si-ც 6% , კორუნდის პიკებთან ერთად საკმაო რაოდენობით მიღებულია სილიციუმის ნიტრიდი (ნახ. 4<sub>2</sub>). მისი დამახასიათებელი დიფრაქტოული მაქსიმუმები:  $d_{hkl}$ - 3,39 ; 2,695 ; 2,511 Å. უფრო მაღალი ინტენსიონითაა, ვიდრე შეიძლებოდა მისი მიღება 6 მას. % სილიციუმისაგან. ეს ნიშნავს, რომ ამ შემთხვევაში სიალონის (SiAlON) მიღება ხდება ნიტრიდული სტრუქტურით, ე. ი. წარმოიქმნა β- სიალონი მიღებულია კორუნდის ცეცხლგამძლე მასალა სიალონური შემკვრელით.

C<sub>6</sub>-ნიმუშის რენტგენოგრამაზე (ნახ. 4<sub>3</sub>) ძირითადი კომპონენტი სილიციუმის კარბიდია. მცირე რაოდენობით არის a-Al<sub>2</sub>O<sub>3</sub>-იც.

C<sub>4</sub>-ის ანალოგიურად აქაც მიღებულია მულიტი გარკვეული რაოდენობით. სავარაუდოდ მისაღები ნიტრიდების დამახასიათებელი პიკები არ არის. ესეც მიანიშნებს, რომ მიღებული X- სიალონი მულიტის სტრუქტურითაა.

C<sub>7</sub>-ნიმუშის რენტგენოგრამაზე (ნახ. 4<sub>4</sub>) ძირითადი ფაზაა სილიციუმის კარბიდი.  $d_{hkl}$ - 2,625 ; 2,511 ; 2,353 ; 2,182 ; 2,004 Å. ასევე მნიშვნელოვანი რაოდენობითაა სილიციუმის ოქსინიტრიდი – Si<sub>2</sub>ON<sub>2</sub>.  $d_{hkl}$ - 4,67 ; 4,44 ; 3,36 ; 2,383 Å.

O<sup>1</sup>-სიალონი მიიღება სილიციუმის ოქსინიტრიდული სტრუქტურით, რასაც ადგილი აქვს C<sub>7</sub>- ნიმუშის შემთხვევაში. ამრიგად, კორუნდისა და სილიციუმის კარბიდის შემცველი ნიმუშების 1400°C-ზე გამოწვისას შეინიშნება შემდეგი:

1. Al<sub>2</sub>O<sub>3</sub> და SiC კომპონენტებზე კაოლინ-ალუმინის პუდრის ნარევის დამატებით მიიღება კორუნდი სიალონური შემკვრელით და სილიციუმის კარბიდი სიალონური შემკვრელით. ორივე შემთხვევაში მიიღება X- სიალონი.

2.  $\text{Al}_2\text{O}_3$  და  $\text{SiC}$  კომპონენტებზე კაოლინ-ალუმინის პუდრა-სილიციუმის ნარევის დამატებით ასევე მიიღება კომპოზიტები: კორუნდი სიალონური შემკვრელით და სილიციუმის კარბიდი სიალონური შემკვრელით.

აქ სიალონი კორუნდთან  $\beta$ -ფორმისაა და სილიციუმის კარბიდთან  $\text{O}^1$ -სიალონი მიიღება.

#### ცხრილი 5. ნარევების შედგენილობები

კომპოზიტის ინდექსი	საწყისი კომპონენტის შემცველობა, მას.%								
	კაოლინი (უკრაინა)	Al	$\text{Al}_2\text{O}_3$	$\text{SiC}$	Si	პერლიტი (სომხეთი)	$\text{Y}_2\text{O}_3$	MgO	პოლოგის თიხა, (უკრაინა)
CH-1	80,00	20,00							
CH-2	20,00	10,00		70,00					
CH-3	20,00	10,00	70,00						
CH-6	18,52	18,52	18,52	18,52	20,37	2,78	1,85	0,92	
CH-7	13,89	23,15		27,78	25,00	2,78	1,85	0,92	4,63
CH-8	13,89	23,15	27,78		25,00	2,78	1,85	0,92	4,63

### სიალონშემცველი კომპოზიტის მიღება რეაქციული შეცხობის მეთოდით

ჩვენი სამუშაოს ერთ-ერთ მიზანს შეადგენდა რეაქციული შეცხობის მეთოდით სიალონშემცველი კომპოზიტების მიღება სილიციუმის კარბიდისა და კორუნდის ბაზაზე. ეს მეთოდი სასურველი

ფაზური შედგენილობის მასალის მიღების საშუალებას იძლევა. ამ მეთოდით სიალონების მიღებისას, შეცხობის ტემპერატურა მნიშვნელოვნად მცირდება აქტიური მასალების გამოყენების შემთხვევაში.

ამოცანა მდგომარეობდა ისეთი მასალების შერჩევაში, რომლებიც რეაქციული შეცხობის მეთოდით ახლადწარმოქმნილი კომპონენტების გამოყენების საშუალებას მოგვცემდა, რადგან სიალონების მყარი სსნარის მიღებისას  $a\text{-}\text{Al}_2\text{O}_3$  და  $\text{AlN}$ -ის ჩანერგვა  $\beta\text{-Si}_3\text{N}_4$ -ში განსაკუთრებით მარტივდება, როდესაც მისი კრისტალური

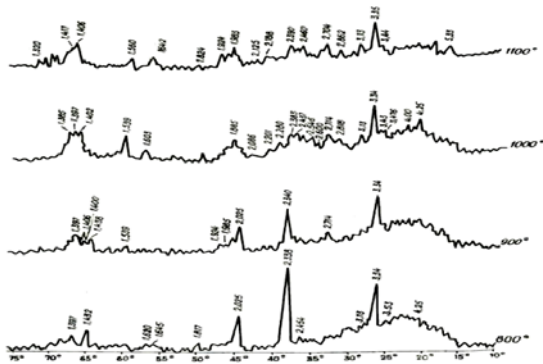
მესერი ჯერ კიდევ წარმოქმნის პროცესშია. საწყისი მასლების სახით გამოვიყენეთ: კაოლინი, ალუმინის პუდრა, სილიციუმი, სილიციუმის კარბიდი, ალუმინის ოქსიდი, ხოლო დანამატების სახით: მაგნიუმისა და იტრიუმის ოქსიდები, პერლიტი და ცეცხლგამძლე თიხა. ნარევების შედგენილობა წარმოდგენილია ცხრილში 5.

შევისწავლეთ  $1500^{\circ}\text{C}$ -ზე გამომწვარი ნიმუშების ფიზიკურ-ტექნიკური თვისებები (ცხრილი 6). მაღალი ფიზიკურ-ტექნიკური მაჩვენებლებით გამოირჩევა C<sub>7</sub>, შემდეგ C<sub>6</sub> და C<sub>8</sub>. ღია ფორიანობა შესაბამისად შეადგენს 15,2, 15,0 და 15,4 % -ს. კუმშვისას სიმტკიცის ზღვარი არის 258, 256 და 254 მპა. რაც იმაზე მეტყველებს, რომ  $1500^{\circ}\text{C}$  არ არის საკმარისი სრული გამკვრივებისათვის. მიუხედავად ამისა, ქიმიური მედეგობა წყლისა და მჟავას ( $\text{H}_2\text{SO}_4$  ρ-1.84) მიმართ მაინც მაღალია. ნიმუშების ცეცხლგამძლეობაა- $1770^{\circ}\text{C}$ .

#### ცხრილი 6. $1500^{\circ}\text{C}$ -ზე გამომწვარი ნიმუშების ფიზიკურ-ტექნიკური მახასიათებლები

კომპოზიტის ინდექსი	ღია ფორიანობა w, %	სიმტკიცის ზღვარი კუმშვისას, σ <sub>3</sub> , მპა	სიმკვრივე, ρ, გ/სმ <sup>3</sup>	ქიმიური მედეგობა, %
CH-1	16.2	230	2.28	წყალი მჟავა
CH-2	15.0	245	2.8	99,41 99.16
CH-3	16.0	240	3.2	99.36 99.15
CH-6	15.0	256	2.25	99.82 99.20
CH-7	15.2	258	2.31	99.79 99.25
CH-8	15.4	254	2.78	99.80 99.30

სიალონების მიღებისას მიმდინარე ფიზიკურ-ქიმიური პროცესების შესასწავლად ნიმუშები გამოიწვა  $800-1500^{\circ}\text{C}$  ტემპერატურულ ინტერვალში და პვლევა ჩატარდა რენტგენოსტრუქტურული ანალიზით (ნახ.5)

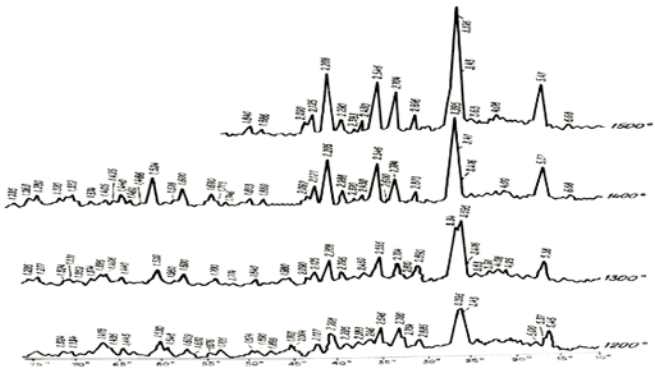


ნახ. 5. CH-1 ქომპოზიტის X-RAY ( 800-1100°C)

800°C-ის რენტგენოგრამაზე გამოკვეთილია ალუმინის, სილიციუმის და კვარცის დამახასიათებელი დიფრაქციული მაქსიმუმები,  $d_{hkl}$  :ალუმინი- 2,338; 2,025; 1,62; 1,432 Å. სილიციუმი- 3,53; 3,13; 2,45; 1,817 Å. კვარცი-3,34; 4,25; 2,454; 1,817 Å .როგორც მოსალოდნელი იყო კაოლინიტის დაშლის შედეგად გამოიყო  $\text{SiO}_2$  , სილიციუმი კი წარმოიქმნა ალუმინორმის პროცესის შედეგად შემდეგი რეაქციით:  $3\text{SiO}_2 + 4\text{Al} \rightarrow 2\text{Al}_2\text{O}_3 + 3\text{Si}$  .

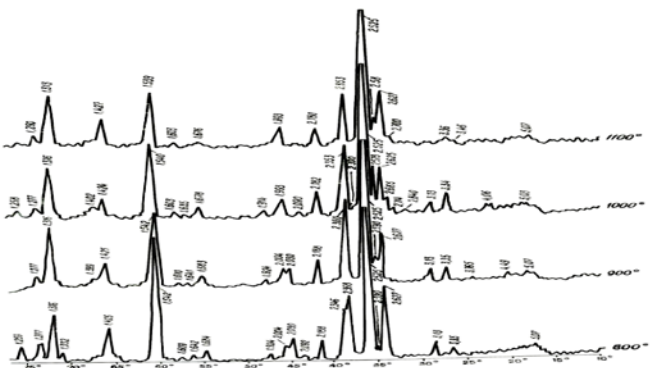
900-1000°C ტემპერატურულ ინტერვალში მკვეთრად შემცირებულია ალუმინის და  $\text{SiO}_2$ -ის დამახასიათებელი პიკები, ჩნდება ახალი ფაზები  $\text{AlN}$  და  $\text{AlON}$ .  $d_{hkl}$ :ალუმინი- 2,34; 2,025; 1,438 Å. კვარცი- 3,34; 4,25; 2,454; 1,817 Å .  $\text{AlN}$  – 2,714 Å.  $\text{AlON}$ - 1,985; 1,397 Å. 1000°C  $d_{hkl}$  :  $\text{SiO}_2$  – 4,25; 3,34; 2,280; 2,546 Å .  $\text{Si}$  – 3,13 ; 3,53; 1,817 Å .  $\text{AlN}$ - 2,714; 2,437; 1,402 ; 1,397 Å .  $\text{AlON}$ - 2,383; 1,985; 1,385 Å.

1100-1200°C ინტერვალში ქრება ალუმინის და იზრდება  $\text{AlN}$  და  $\text{AlON}$ -ის ინტენსიობა. მკვეთრად შემცირებულია  $\text{SiO}_2$  . 1200°C- ზე არ არის  $\text{Si}$  და  $\text{SiO}_2$ -ის პიკები. გაჩნდა მულიტის დამახასიათებელი პიკები. 1100°C  $d_{hkl}$  : ალუმინი- 2,38 Å;  $\text{SiO}_2$  – 4,25; 3,335; 1,824 Å.  $\text{Si}$  – 3,13 ; 1,824 Å.  $\text{AlON}$ - 1,983; 1,39 Å.  $\text{AlN}$ - 2,704; 2,48; 2,39 ; 1,56; 1,406; 1,411; 1,32 Å . მულიტი - 5,33; 3,44; 3,395 Å. 1200°C  $d_{hkl}$  :  $\text{AlN}$ -2,734; 2,700; 2,46; 2,383; 1,548; 1,435; 1,418; 1,334 Å. მულიტი- 5,45; 3,43; 3,395; 2,885; 2,546; 2,295; 2,208; 1,899; 1,990; 1,824; 1,705 ; 1,530 Å;  $\text{AlON}$ -1,993 Å;



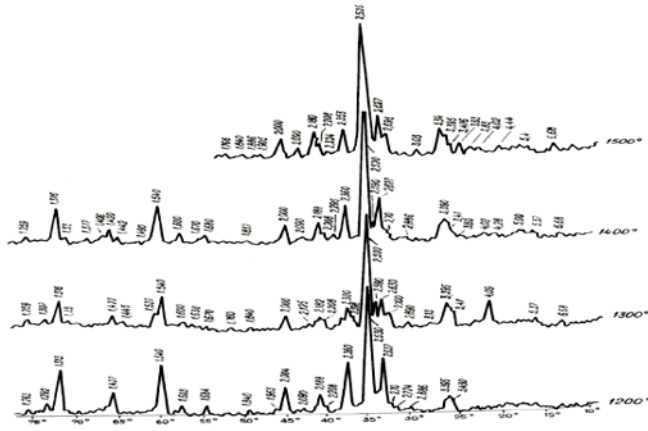
ნახ. 6. CH-1 კომპოზიტის X-RAY ( 1200-1500°C)

1300-1400°C- ზე ძირითადი ფაზა მულიტია. კვალის სახით რჩება AlN და AlON და არ ჩანს  $\text{Si}_3\text{N}_4$ -ის დამახასიათებელი პიკი. იგივე სურათია 1500°C- ზე, რაც მიანიშნებს, რომ 1300°C-ზე წარმოიქმნა X-სიალონი მულიტის სტრუქტურით. 1300°C  $d_{hkl}$  : მულიტი - 5,38; 3,395; 2,89; 2,704; 2,555; 2,43; 2,29; 2,125; 1,84; 1,700; 1,600; 1,520; 1,44 Å; AlN-2,70 Å. კორუნდი-3,476; 2,09 Å; კრისტობალიტის კვალი 4,09 Å; ALN-1,98 Å; 1400°C  $d_{hkl}$  : მულიტი გადიდებული პიკებით. კორუნდი კვალის სახით -3,476; 2,09 Å; AlN -2,70 Å;  $\text{Si}_3\text{N}_4$ -6,88Å.



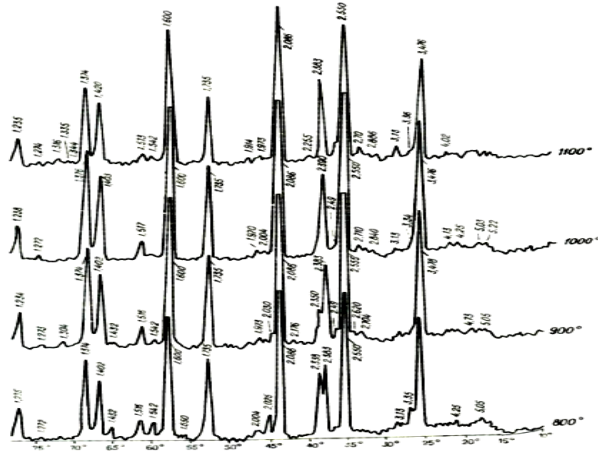
ნახ. 7. CH-2 კომპოზიტის X-RAY ( 800-1100°C)

CH-2-ის შედგენილობის (ცხრილი 5) ნიმუშების რენტგენოგრამებზე 800-1500°C-მდე 100°C-ის ინტერვალით გამომწვარ ნიმუშებში, კაზმში შევვანილი სილიციუმის კარბიდი რჩება უცვლელი ყველა ტემპერატურაზე. როგორც CH-1-ის ნიმუშებიდან ჩანს, აქაც 800-900°C-ზე არის ალუმინის, სილიციუმის და  $\text{SiO}_2$ -ის დამახასიათებელი დიფრაქციული მაქსიმუმები.



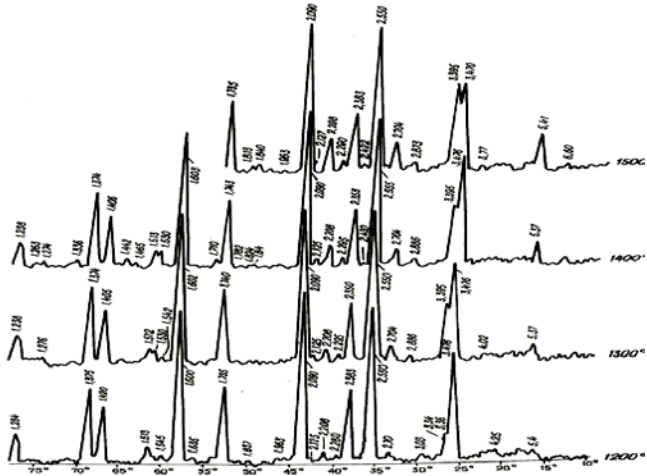
ნახ. 8. CH-2 კომპოზიტის X-RAY ( 1200-1500°C)

1000-1100°C- ზე წარმოიქმნა ახალი ფაზები: AlN და AlON. 1100°C-ზე მულიტი. ყველა დანარჩენ ტემპერატურაზე ფაზების წარმოქმნა მიმდინარეობს იგივე სქემით ორგორც CH-1-ის შემთხვევაში, მაგრამ შედარებით ნაკლები ინტენსივობით, შესაბამისად შედგენილობისა. ამრიგად, მიღებულია სილიციუმის კარბიდის კომპოზიტი X-სიალონური შემკვრელით.



ნახ. 9. CH-3 კომპოზიტის X-RAY ( 800-1100°C)

CH-1 და CH-2-ის მსგავსად ქიმიური პროცესები ამ შედგენილობის (ცხრილი 5) ნიმუშებში იგივე სქემით მიმდინარეობს. ა-Al<sub>2</sub>O<sub>3</sub> უცვლელი რჩება ბოლომდე და მიიღება კომპოზიტი კორუნდი X-სიალონური შემკვრელით.

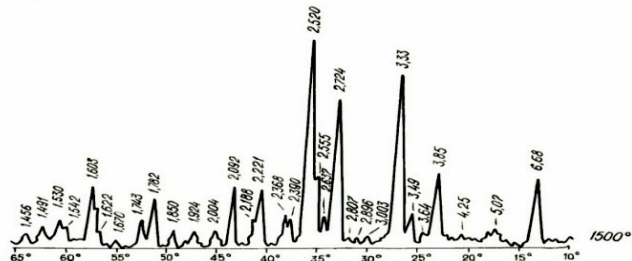


686. 10. CH-3 յոթերթօնքութեալ X-RAY ( 1200-1500°C)

მიღებული შედეგებიდან გამომდინარე, SiC და a-Al<sub>2</sub>O<sub>3</sub>-ის შემცველი სიალონური კომპოზიტის მისაღებად, კაზმის შედგენილობაში შეყვანილია დამატებით მეტალური სილიციუმი, შემცირებული რაოდენობით სილიციუმის კარბიდი და a-AL<sub>2</sub>O<sub>3</sub> (ცხრილი 5). მიღებული კომპოზიტების ფიზიკურ-ტექნიკური მახასიათებლები წარმოდგენილია ცხრილში 6.

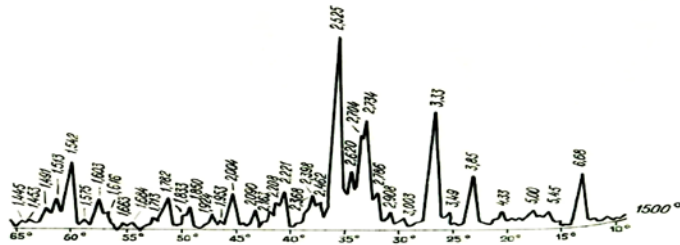
ცხრილში 5 მოყვანილი სამი შედგენილობის (CH-6, CH-7, CH-8)  $1500^{\circ}\text{C}$ -ზე გამომწვარი ნიმუშების რენტგენოგრამები წარმოდგენილია ნახაზზე 11, 12, 13.

CH-6 კომპოზიტი ძირითადად შედგება ბ-სიალონისაგან. მასში დაფიქსირდა კარბიდის და კორუნდის დამახასიათებელი დიფრაქციული მაქსიმუმები.

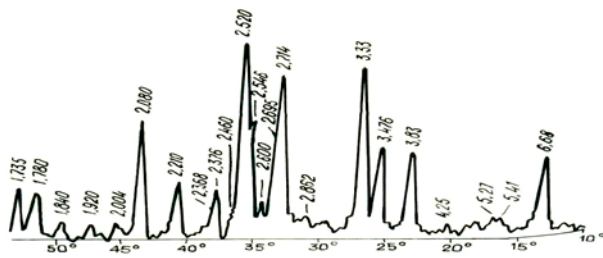


ნახ. 11. CH-6 კომპოზიტის X-RAY (1500°C)

CH-7 რენტგენოგრამაზე ძირითადი ფაზა ჩ-სიალონია. კომპოზიტი  
შეიცავს ჩ-სიალონთან ერთად სილიციუმის კარბიდს; უმნიშვნელო  
რაოდენობით შეიცავს X სიალონსაც.



### 68b. 12. CH-7 ქომპოზიტის X-RAY (1500°C)



### 68b. 13. CH-8 յոմՅօջօն X-RAY (1500<sup>0</sup>C)

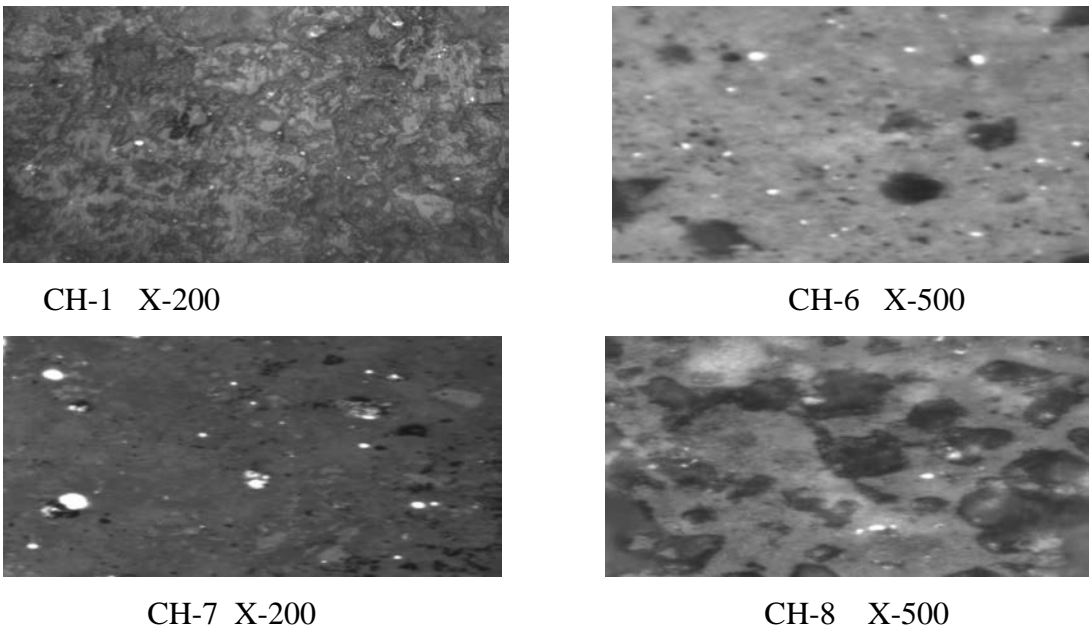
CH-8 კომპოზიტი, მსგავსად ზემოთაღნიშნული კომპოზიტებისა შედგება  $\beta$ -სიალონისაგან და შეკვანილი  $a\text{-Al}_2\text{O}_3$ -საგან.

მიკროსტრუქტურული ანალიზის (ნახ. 14) შედეგები აღასტურებს რენტგენოსტრუქტურული კვლევის მონაცემებს. CH-1 კომპოზიტის მიკრო-სტრუქტურა ასევე წარმოდგენილია ძირითადად X- სიალონის ფაზით, რომელშიც ჩაწინაშელია  $\text{Si}_3\text{N}_4$  მარცვლები.

CH-6, CH-7 და CH-8 კომპოზიტების მიკროსტრუქტურული კვლევის მონაცემები თანხვედრაშია რენტგენოსტრუქტურული ანალიზის შედეგებთან, საიდანაც ჩანს, რომ ამ კომპოზიტების მატრიცას წარმოადგენს პ-სიალონი.

CH-6 კომპოზიტის მატრიცაში განაწილებულია სილიციუმის კარბიდისა და კორუნდის მარცვლები. CH-7 კომპოზიტის მატრიცაში გამოკვეთილია სილიციუმის კარბიდის მარცვლები, რომელთა ზომა აღემატება ახალწარმოქმნილი სილიციუმის ნიტრიდის მარცვლების ზომას. CH-8 კომპოზიტში იგივე წ-სიალონისაგან შემდგარი მატრიცაა,

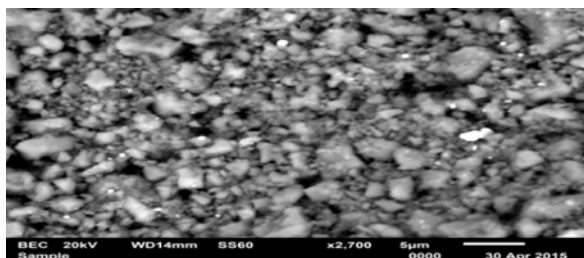
რომელშიც არის  $\alpha\text{-AL}_2\text{O}_3$ -ის კრისტალები. ამ სურათზე ჩანს ფორები, რომლებიც ამ კომპოზიტში მეტი რაოდენობითაა.



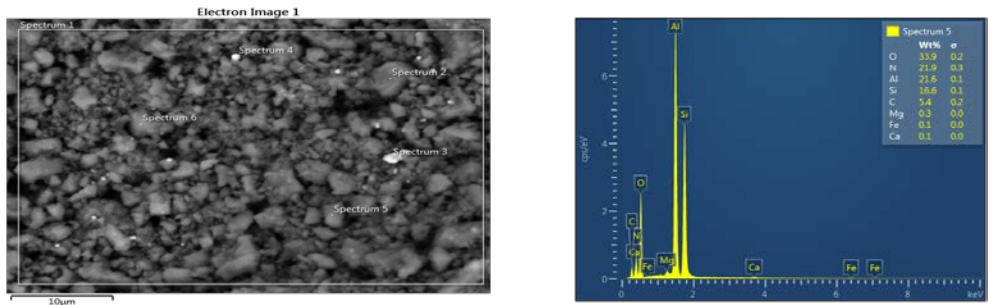
ნახ. 14. კომპოზიტების მიკროსტრუქტურები

CH-6 კომპოზიტის სტრუქტურის კვლევა გავაგრძელეთ JEOL ფირმის ელექტრონულ-რასტრული მიკროსკოპის YSM 650LW-ს საშუალებით და მიკრორენტგენოსპექტრული ანალიზით. ეს უკანასკნელი ჩატარდა OXFORD instrumentals დეტექტორზე X-max, რის საშუალებითაც ვიღებთ კომპოზიტის შემცველ ელემენტთა ზოგად შემადგენლობას. ანალიზის შედეგები მოცემულია ნახაზზე 15. და 16.

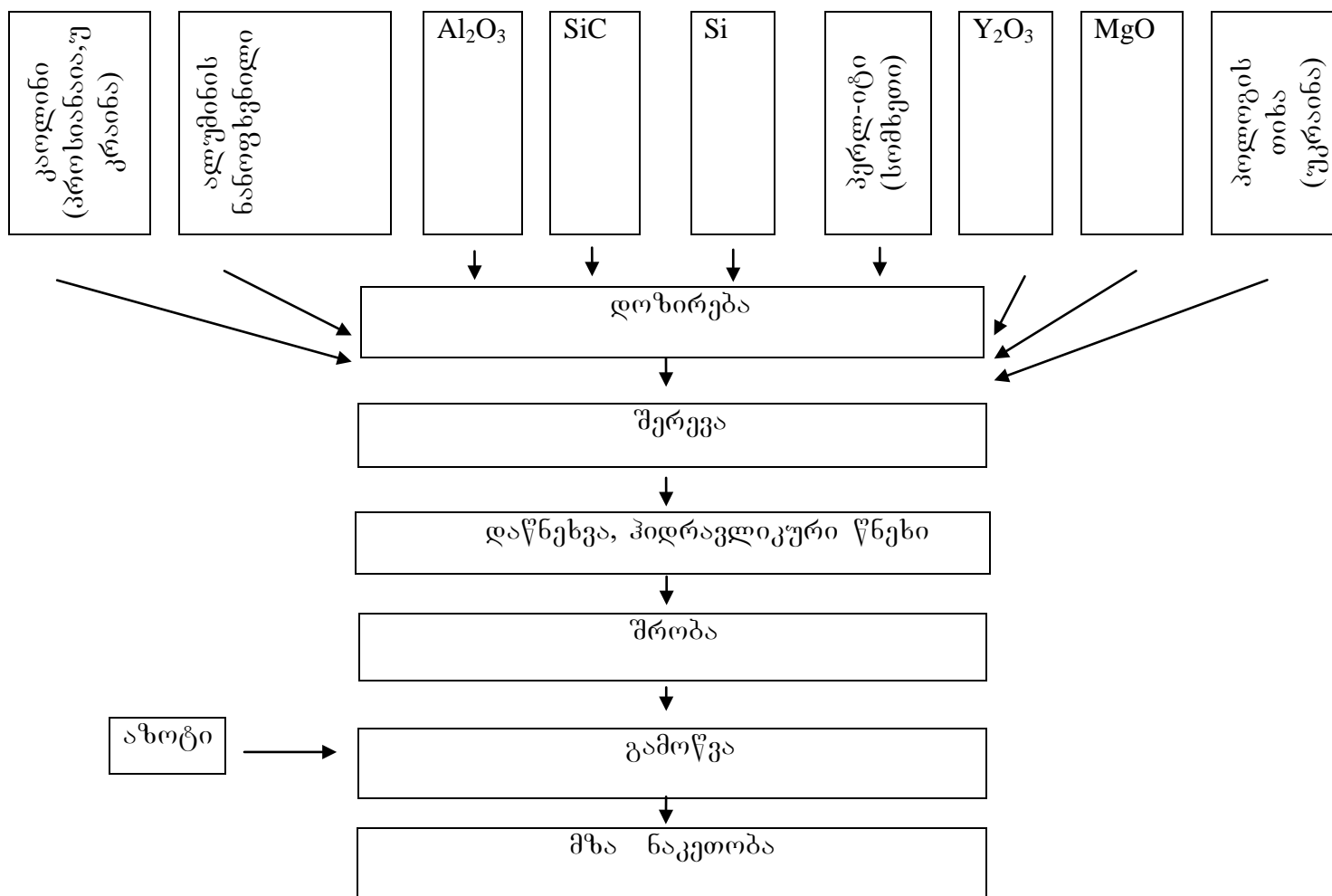
ნახაზზე 15 გამოკვეთილია ძირითადი ფაზის სიალონის არსებობა, რომელიც მატრიცის როლს ასრულებს. მასში განაწილებულია სილიციუმის კარბიდისა და კორუნდის კრისტალები, რაც ადასტურებს რენტგენოსტრუქტურული და მიკროსტრუქტურული ანალიზის მონაცემებს.



ნახ. 15. CH-6 კომპოზიტის ელექტრონულ-მიკროსკოპიული ანალიზი ( $1500^{\circ}\text{C}$ )



ნახ. 16. CH-6 კომპოზიტის მიკრორენტგენოსპექტრული ანალიზის შედეგები  
 ნახ. 16-ზე წარმოდგენილია მიკრორენტგენოსპექტრული ანალიზი, მონაკვეთზე სპექტრუმ 1 და შემადგენელ ელემენტთა სქემა და მათი პროცენტული შემცველობა, საიდანაც ნათლად ჩანს, რომ კომპოზიტის შემცველი მინერალების: სიალონის, სილიციუმის კარბიდის და კორუნდის შემცველი ელემენტებია Si, Al, O, N და შესაბამისად მათი პროცენტული რაოდენობა, რაც ერთხელ კიდევ ნათელს ხდის კომპოზიტში აღნიშნული მინერალების არსებობას.  
 რეაქციული შეცხობით მიღებული კომპოზიტის წარმოების ტექნოლოგიური სქემა.

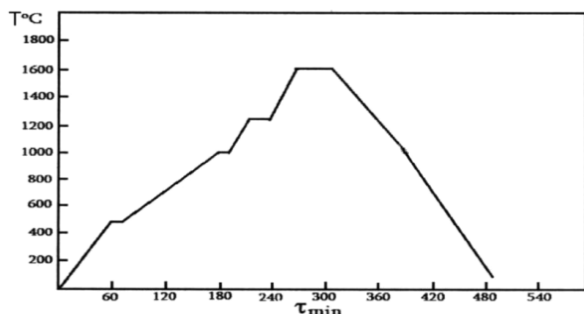


## ცხელი დაწნებვის მეთოდით კომპოზიტების მიღება ჩ-სიალონის მატრიცაზე

მკვრივი ნაკეთობის მისაღებად ცხელი დაწნებვის მეთოდით რეაქციული შეცხობისა და ნიტროალუმინორმული მეთოდებით მიღებული კომპოზიტები CH-6 და CH-8 (იხ. ქიმიური შედგენილობა გვ.) გადაიფქვა ბურთულებიან წისქვილში 8 საათის განმავლობაში.

ცხელი დაწნებვისას დაბალ ტემპერატურებზე რეარისტალიზაციის აქტიური პროცესი ე.ი. შეცხობადი ნივთიერების მარცვლების ზომის ზრდა ჯერ კიდევ არ იწყება, ე.ი. შედეგად შეცხობილ ნაკეთობას ექნება წვრილმარცვლოვანი სტრუქტურა და მაღალი ფარდობითი სიმკერივე.

პრეკურსორი მომზადდა ოერმოსტატში  $150^{\circ}\text{C}$  -ზე, ცოვად დაიწნება 12-15 მპა-ზე და 20-25 მპა-ზე. დაიწნება ცხლად  $1600^{\circ}\text{C}$ -ზე 30 მპა წნევის ქვეშ, ვაკუუმი შეადგენდა  $10^{-3}$  პა-ს, დაყოვნება საბოლოო ტემპერატურაზე 10-12 წთ. გამოწვის რეჟიმი იყო:  $20-500^{\circ}\text{C}$ -მდე  $7^{\circ}\text{C}/\text{წთ}$ ,  $500-1400^{\circ}\text{C}$ -მდე  $150^{\circ}\text{C}/\text{წთ}$ ,  $1400-1600^{\circ}\text{C}$ -მდე კი  $10^{\circ}\text{C}/\text{წთ}$ . გაცივება  $10^{\circ}\text{C}/\text{წთ}$ . გამოწვის რეჟიმი წარმოდგენილია ნახაზზე 17.



ნახ. 17. ცხლად დაწნებილი ნიმუშების გამოწვის ტემპერატურული რეჟიმი

შესწავლილ იქნა  $1600^{\circ}\text{C}$ -ზე ცხლად დაწნებილი ნიმუშების ფიზიკურ-ტექნიკური მახასიათებლები. მიღებული შედეგები წარმოდგენილია ცხრილში 7. ცხლად დაწნებილი ნიმუშების ღია ფორიანობა შეადგენს  $0,5\%$ (CH-6) და  $0,7\%$  (CH-8), ხოლო სიმტკიცის ზღვარი კუმშვისას -1940 მპა და  $1614$  მპა, სისალე - HV:11.40. ჩვენს

მიერ ცხრილში წარმოდგენი-ლი მონაცემებიდან შეგვიძლია დავასკვნათ,  
რომ 1600°C საკმარისია ნიმუშების სრული გამკვრივებისათვის.

**ცხრილი 7. ცხლად დაწესებილი CH-6 ნიმუშის ფიზიკურ-ტექნიკური  
მახასიათებლები**

კომპოზიტის ინდექსი	ლია ფორიანობა w, %	საერთო ფორიანობა, Π, %	სიმკვრივე ρ, გ/სმ <sup>3</sup>	დაწესების ტემპერატურა, °C	სიმტკიცის ზღვარი კუმულაციას, σ <sub>კ</sub> , მპა	სიმტკიცის ზღვარი ლუნგისას, σ <sub>ლ</sub> , მპა
CH-6 (1600 <sup>0</sup> )	0,5	3,95	2,97	30	1940	490
CH-8 (1600 <sup>0</sup> )	0,7	2,49	3,17	30	1614	456

მიღებული მასალების დინამიური მიკროსისალე და დრეკადობის  
მოდული განისაზღვრა თანამედროვე ISO-14577 საერთაშორისო  
სტანდარტის მოთხოვნების შესაბამის დინამიურ ულტრა მიკროსისალის  
ტესტერზე DUH-211S, რომელიც მყარი სხეულების ზედაპირების  
მექანიკური მახასიათებლების (მიკროსისალე, დრეკადობის მოდული)  
დასადგენად გამოიყენება. შედეგები წარმოდგენილია ცხრილში 8.

**ცხრილი 8. ტესტის მონაცემები -CH6-1600(200gr.)**

Test mode	Load-unload	Sample No.	CH6-1600
Sample name	CH6-1600	Minimum force	1.96[mN]
Test force	200.[gr]	Hold time at load	5[sec]
Loading speed	1.0(70.0670[mN/sec])	Test count	9
Hold time at	3[sec]	Parameter	20
Comment	20.11.15. .CH6-1600-		
Poisson's ratio	0.250		
Indenter type	Vickers		

SEQ	Fmax	hmax	DHV-1	Eit	Lengt	HV	Data name
	[mN]	[um]		GPa	[um]	GPa	
1	1908.95	3.0142	1047.406	209	17.39	11.92	CH6-1600(1900)(1)
2	1908.23	3.0219	1041.627	200	17.69	11.52	CH6-1600(1900)(4)
3	1907.52	3.0035	1054.060	201	16.81	12.75	CH6-1600(1900)(7)
4	1908.23	3.1456	961.333	191	18.93	10.06	CH6-1600(1900)(8)
5	1908.95	3.0214	1042.405	195	18.34	10.72	CH6-1600(1900)(9)
Average	1908.38	3.0413	1029.366	199	17.83	11.40	

ცხრილში 8 მოცემული გვაქვს CH-6 1600<sup>0</sup>C-ზე ცხლად დაწნებილ ნიმუშზე ჩატარებული ტესტის შედეგები, ანაბეჭდი აღებულია მატრიცაში, ანაბეჭდის აღება მოხდა რამოდენიმეჯერ, შედეგები კი მოცემულია ცხრილში, სადაც საშუალო სიმაგრე არის HV: 11,40გპა.

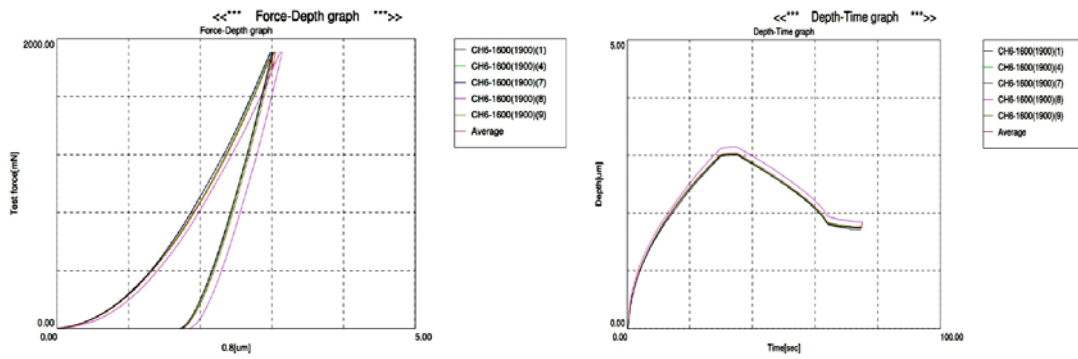
დინამიური მიკროსისალე (DH) განისაზღვრება ტესტირების პროცესში ინდენტორზე მოდებული დატვირთვის სიდიდისა და მისი მასალაში შედწევის სიღრმით, მისი მნიშვნელობა იანგარიშება ფორმულით:  $DH=a \times F/h^2$ ; ა მუდმივი სიდიდეა და დამოკიდებულია ინდენტორის ფორმაზე, იგი ვიკერსის ინდენტორისთვის ტოლია:  $a=3,8584$ .

მეთოდის უპირატესობა ჩვეულებრივ სტატიკური, ანუ ანაბეჭდის წრფივი ზომების (დიაგონალი) გაზომვებთან შედარებით, მდგომარეობს იმაში, რომ ის შეიცავს როგორც პლასტიკურ, ისე დრეკად მდგენელებს. გაზომვების შედეგები არ არის დამოკიდებული ანაბეჭდის ზომებზე, დატვირთვებზე და დრეკადი აღდგენის არაერთგაროგნებაზე.

დინამიური სისალე განისაზღვრა დატვირთვა-განტვირთვის რეჟიმში, თითოეულ კონკრეტულ დატვირთვაზე შეიძი ანათვალის აღებით, ორი უკიდურესი მნიშვნელობის უგულვებელყოფით და დარჩენილი ხუთი სიდიდის გასაშუალებით. მიკროსისალის შესაბამისი მნიშვნელობა განისაზღვრებოდა ავტომატურად. დაყოვნების დრო დატვირთვის მაქსიმუმზე შეადგენდა 5 წმ-ს, განტვირთვის ბოლოს -3 წმ-ს (ნახ. 18 ა,ბ).

ინდენტირება მოხდა ნიმუშის მატრიცაში, რომელიც შედგება β-სიალონისაგან. გამოცდის შედეგად მისი საშუალო დინამიური სისალე შეადგენს  $DHV=10,29$ გპა-ს, რაც საკმაოდ მაღალი მაჩვენებელია.

დატვირთვა-განტვირთვის დამოკიდებულების გრაფიკიდან (ნახ. 18) განისაზღვრება დრეკადობის მოდულის სიდიდე სისისტის  $S=(dF/dh)h-h_{max}$ -ის დადგენით. ის წარმოადგენს დატვირთვა-განტვირთვის გრაფიკის მხებს განტვირთვის საწყის წერტილში. ხელსაწყო განსაზღვრავს საკვლევი მასალის დრეკადობის მოდულს, რომლის სიდიდეც ჩვენი ნიმუშის შემთხვევაში ტოლია  $E=199$ გპა.

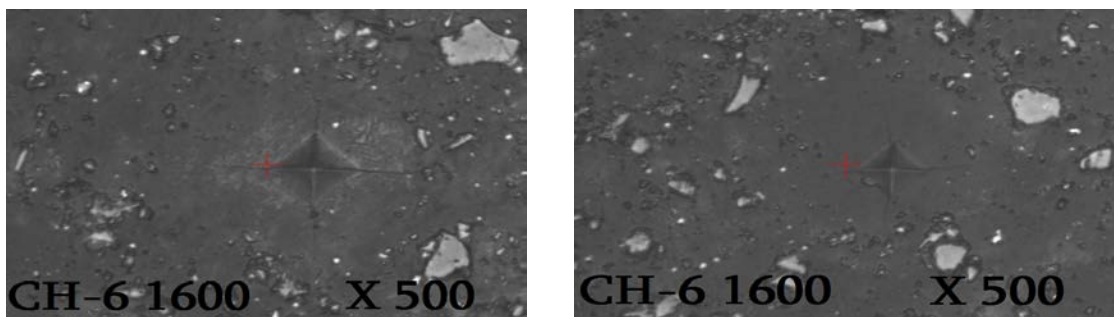


ა.

ბ.

ნახ. 18. დატვირთვა-განტვირთვის მრუდი: ა. ინდენტორზე დატვირთვის ძალა  
ბ. ინდენტორის მასალაში შეღწევის სიღრმე

ნახაზზე 19 ნაჩვენებია SiAlON მატრიცაში აღებული ანაბეჭდი,  
საიდანაც ჩანს, რომ ანაბეჭდის ფორმა მკვეთრია, გამოკვეთილი  
წიბოებით. წიბოების გასწვრივ შეინიშნება თანაბარი ზომის ბზარები,  
რაც მეტყველებს მატრიცის ერთგვაროვნობაზე და მაღალ ფარდობით  
სიმკვრივეზე.



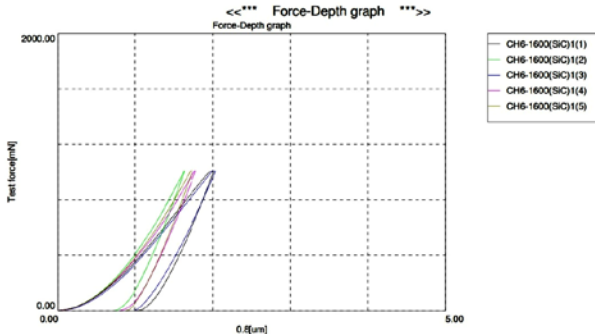
ნახ. 19. SiAlON მატრიცაში აღებული ანაბეჭდი, დატვირთვა ა)200გრ.; ბ.)100გრ

ცხრილ 9-ში მოცემულია კომპოზიტ  $\text{CH-6-1600}^0\text{C}$  –ის  
მიკროსტრუქტურაში შემცველი SiC მარცვლების ტესტირების შედეგები.  
ინდენტირება ხდებოდა SiC მარცვლებზე 100 გრამი დატვირთვისას.  
საშუალო სისალის მაჩვენებელი HV სილიციუმის კარბიდისთვის  
შეადგენს 22.6 გპა, დინამიური სისალე DH-15.2გპა, დრეპადობის  
მოდული E-289გპა, რაც საკმაოდ მაღალი მაჩვენებლებია.

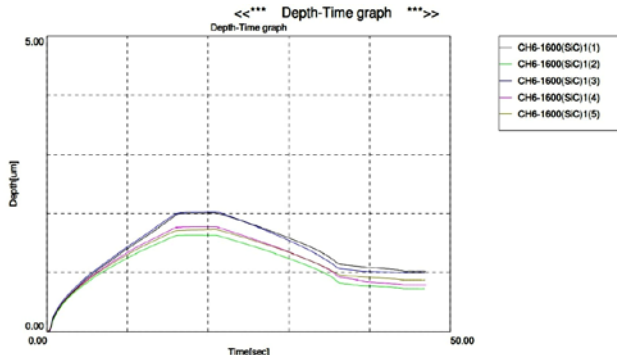
### ცხრილი 9. ტესტის მონაცემები -CH6-1600(SiC)

Test mode	Load-unload	Sample No	CH6-1600
Sample name	CH6-1600	Minimum force	1.96[mN]
Test force	100 [gr]	Hold time at	5[sec]
Loading speed	1.0(70.0670[mN/sec])	Test count	5
Hold time at unload	3[sec]	Parameter	20
Comment	20.11.15. CH6-1600-		
Poisson's ratio	0.190		
Indenter type	Vickers		

SEQ	Fmax	hmax	DHV-1	Eit	Length	HV	Data name
	[mN]	[um]		GPa	[um]	GPa	
1	1007.08	2.0103	1242.166	248	10.162	18.44	CH6-1600(SiC)1(1)
2	1006.75	1.6322	1883.813	363	8.406	26.94	CH6-1600(SiC)1(2)
3	1006.72	2.0353	1211.497	210	9.577	20.78	CH6-1600(SiC)1(3)
4	1007.82	1.7741	1596.132	293	9.575	20.78	CH6-1600(SiC)1(4)
5	1008.72	1.7322	1675.821	330	8.553	26.07	CH6-1600(SiC)1(5)
Average	1007.42	1.8368	1521.886	289	9.255	22.60	



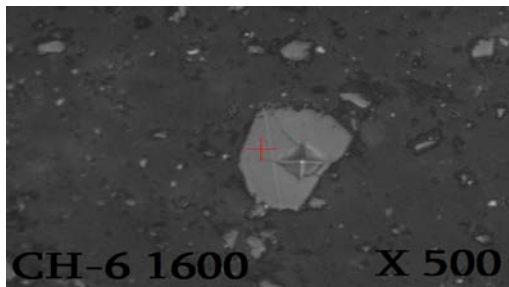
ძ.



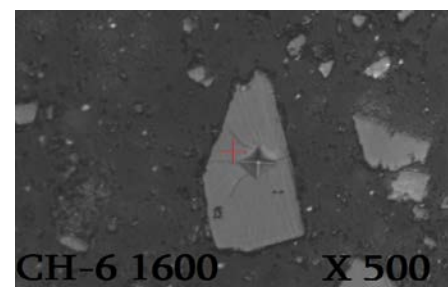
ძ.

ნახ. 20. ინდენტორის მასალაში შეღწევის სიღრმის დატვირთვა-განტვირთვის მრუდები: ა) ინდენტორზე დათვირთვის მალა ბ) ინდენტორის მასალაში შეღწევის სიღრმე

სილიციუმის კარბიდის მარცვლებზე აღებული ანაბეჭდის საზღვრები მკვეთრია (ნახ.21), ბზარი, რომელიც წარმოიშვება მარცვალზე ინდენტორის დატვირთვის შედეგად არ ვრცელდება მარცვლის საზღვრის იქით, მაგრიცა ენერგიის დისიპაციის საფუძველზე ახშობს ბზარის გავრცელებას და კომპოზიტის სიმტკიცე ინარჩუნებს თავის მნიშვნელობას.



ა.



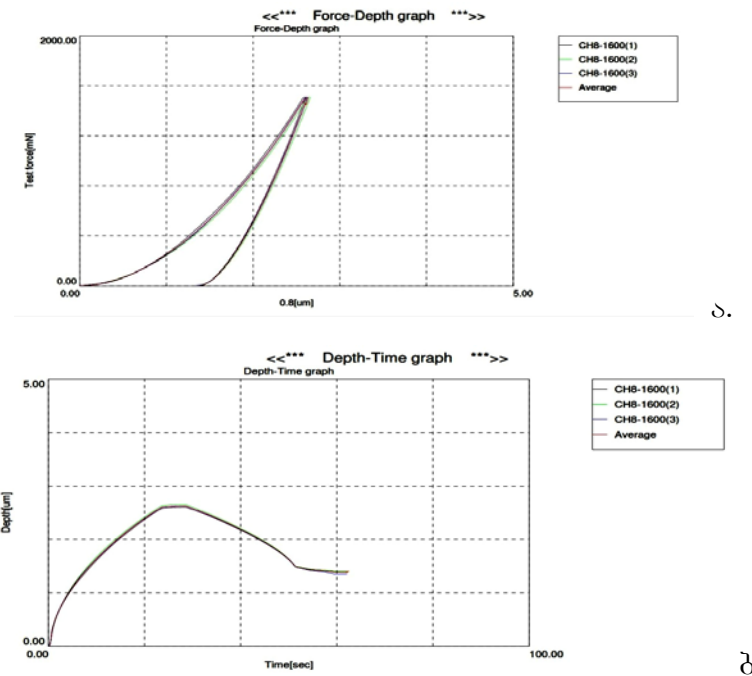
ბ.

ნახ. 21. SiC-ს მარცვალში აღებული ანაბეჭდი 100 გრ. დატვირთვაზე

#### ცხრილი 10. ტესტის მონაცემები -CH8-1600

Test mode	Load-unload	Sample No	CH8-1600
Sample name	CH8-1600	Minimum force	1.96[mN]
Test force	200.00gr	Hold time at load	5[sec]
Loading speed	1.0(70.0670[mN/sec])	Test count	3
Hold time at unload	3[sec]	Parameter	20
Poisson's ratio	0.250		
Comment	24.11.15		
Indenter type	Vickers		

SEQ	Fmax	hmax	DHV-1	Eit	Length	HV	Data name
	[mN]	[um]		GPa	[um]	GPa	
1	1508.56	2.6073	1106.197	211	13.989	14.60	CH8-1600(1)
2	1507.66	2.6574	1064.210	200	13.989	14.60	CH8-1600(2)
3	1508.56	2.6283	1088.609	210	13.698	15.20	CH8-1600(3)
Average	1508.26	2.6310	1086.339	210	13.892	14.80	

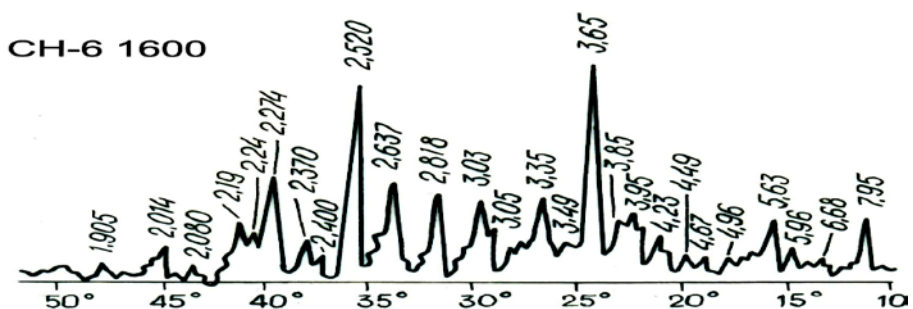


ნახ. 22. დატვირთვა-განტვირთვის მრუდები: ა ) ინდენტორზე დატვირთვის ძალა ბ) ინდენტორის მასალაში შეღწევის სიღრმე



ნახ. 23. Si-Al-O-N მატრიცაში აღებული ანაბეჭდი

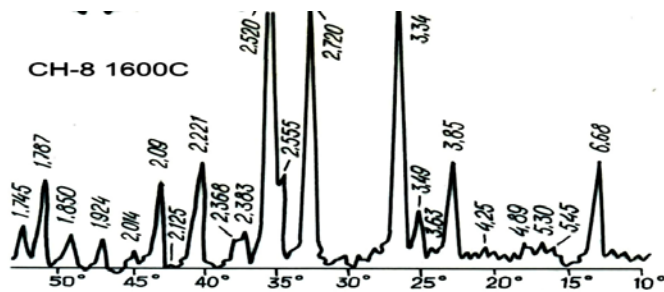
ცხლად დაწერებით  $1600^0\text{C}$ -ზე მიღებული კომპოზიტების ფაზური შედეგნილობის შესასწავლად პკლეგა ჩატარდა რენტგენოსტრუქტურული და ელექტრონული მიკროსკოპის მეთოდებით.



ნახ. 24. CH-6 კომპოზიტის X-ray ( $1600^0\text{C}$ )

კომპოზიტის რენტგენოგრამაზე გამოკვეთილია სიალონის დამახასიათებელი დიფრაქციული მაქსიმუმები  $d_{hkl}$  : 7,95; 5,63; 3,85; 3,65; 2,520; 2,19; სილიციუმის კარბიდი  $d_{hkl}$ : 2,63; 2,370; 2,19; 2,014; კორუნდი- $d_{hkl}$ : 3,49; 2,52; 2,36; 2,090.

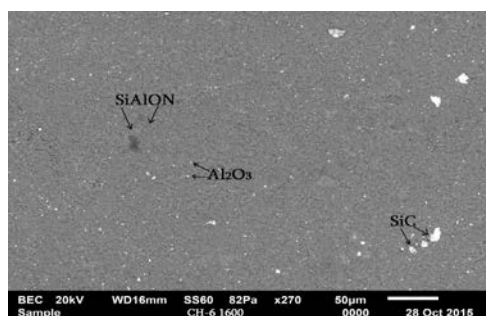
რენტგენოგრამიდან ჩანს, რომ CH-6 კომპოზიტი ძირითადად შედგება  $\beta$ - სიალონისაგან.  $\beta$ - სიალონთან ერთად შეიცავს ასევე სილიციუმის კარბიდს და კორუნდს, რომლებიც თავიდან შეიყვანება ნარევში. ორივე შემთხვევაში კომპოზიტის მატრიცა  $\beta$ - სიალონია და იგი განმტკიცებულია კორუნდისა და სილიციუმის კარბიდის კრისტალებით.



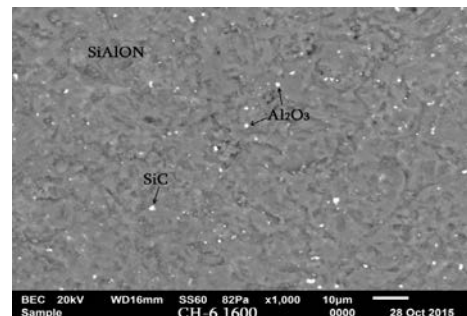
ნახ. 25. CH-8 კომპოზიტის X-ray ( $1600^0$  C)

CH-8 კომპოზიტის რენტგენოგრამაზე გამოკვეთილია სიალონის დამახასიათებელი დიფრაქციული მაქსიმუმები  $d_{hkl}$  : 6,68; 5,63; 3,85; 3,65; 2,520; 2,21; კორუნდი-  $d_{hkl}$  : 3,49; 2,52; 2,36; 2,09

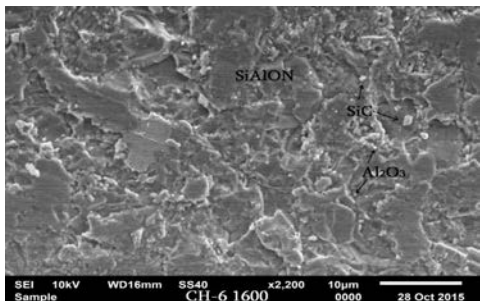
CH-6 კომპოზიტის ელექტრონული მიკროსკოპის სურათებზე ნაჩვენებია კარგად შემცხვარი ნიმუშის ზედაპირი, რომელზეც გამოკვეთილია კრისტალები იმ ძირითადი ფაზებისა, რომლებსაც შეიცავს  $1600^0$ C-ზე ცხლად დაწნებილი კომპოზიტი, კონკრეტულად მატრიცის სახით სიალონს, SiC-ს და კორუნდს. არც ერთ ნიმუშში არ შეინიშნება ფორები.



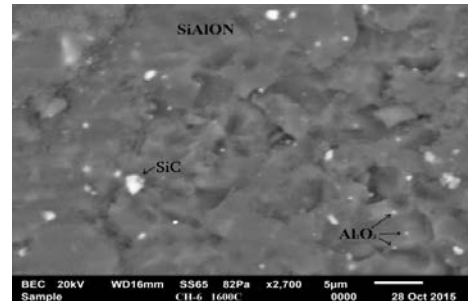
ა) X 270



ბ) X 1000



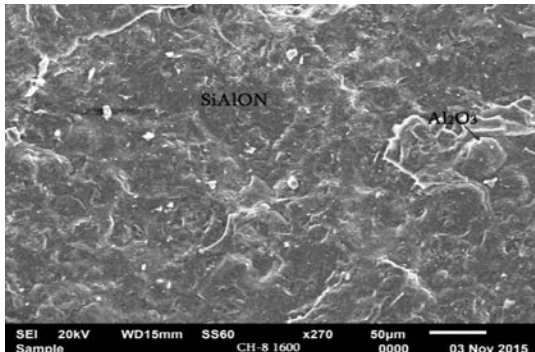
გ) X 2200



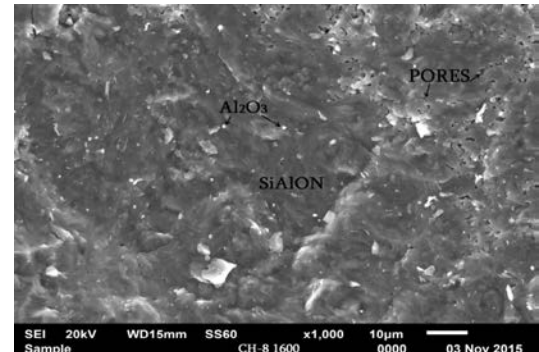
დ) X 2700

ნახ. 26. CH-6 კომპოზიტის ელექტრონულ-მიკროსკოპული სურათები სხვადასხვა გადიდებისას: ა) X270 ბ) X1000 გ) X 2200 დ) X 2700

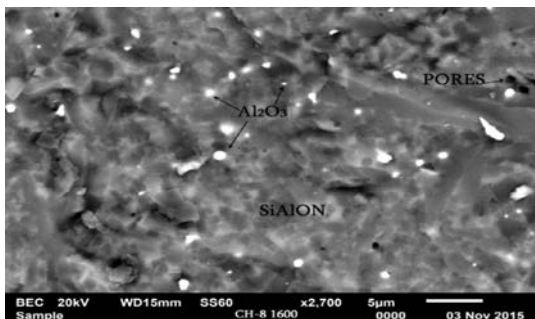
ამ ნიმუშების რენტგენოსტრუქტურული ანალიზის მონაცემები თანხვედრაშია ელექტრონული მიკროსკოპის სურათებთან.



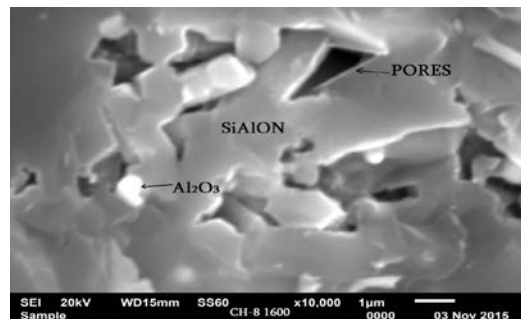
ა) X 270



ბ) X 1000



გ) X 2700

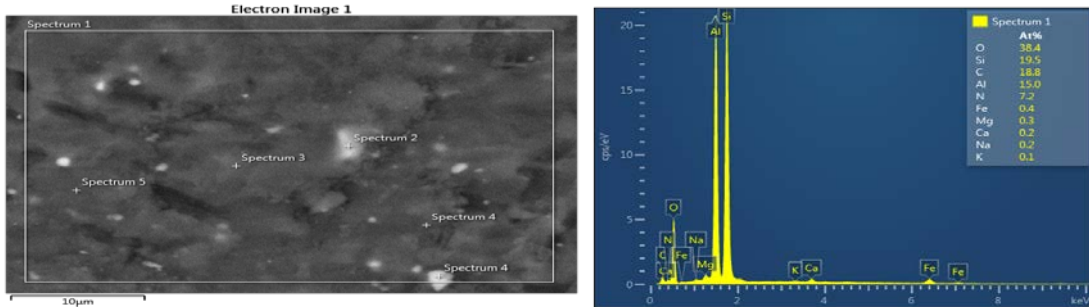


დ) X 10000

ნახ. 27. CH-8 კომპოზიტის ელექტრონულ-მიკროსკოპული სურათები სხვადასხვა გადიდებისას: ა) X270 ბ) X1000 გ) X 2700 დ) X 10000 აქ ნათელია, რომ ცხელი დაწნებისას მინერალოგიური შედგენილობა არ შეიცვალა, რეაქციული შეცხობით მიღებულ ნიმუშებთან შედარებით, რაც უფრო მკაფიოდ ჩანს დიდი გადიდების შემთხვევაში.

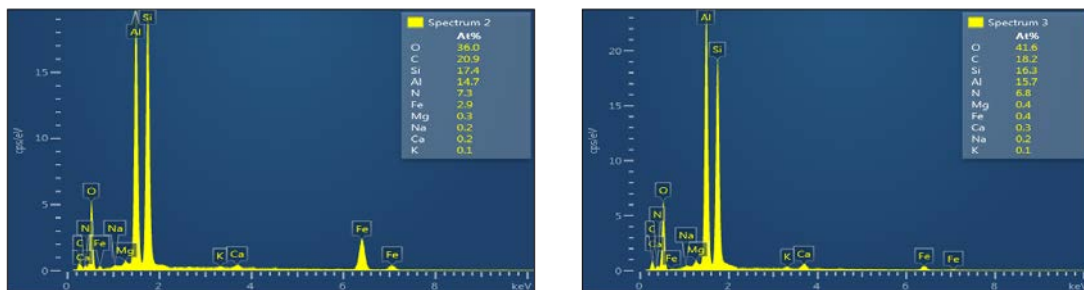
მიკრორენტგენოსპექტრული ანალიზი ჩატარდა OXFORD INSTRUMENTALS დეტექტორზე X-max , რისი საშუალებითაც მივიღეთ

კომპოზიტის შემცველ ელემენტთა ზოგადი შედგენილობა. ანალიზის შედეგები მოცემულია ნახაზზე 28.



ნახ. 28. CH-6 კომპოზიტის მიკრორენტგენოსპექტრული ანალიზი მონაკვეთზე spectrum 1

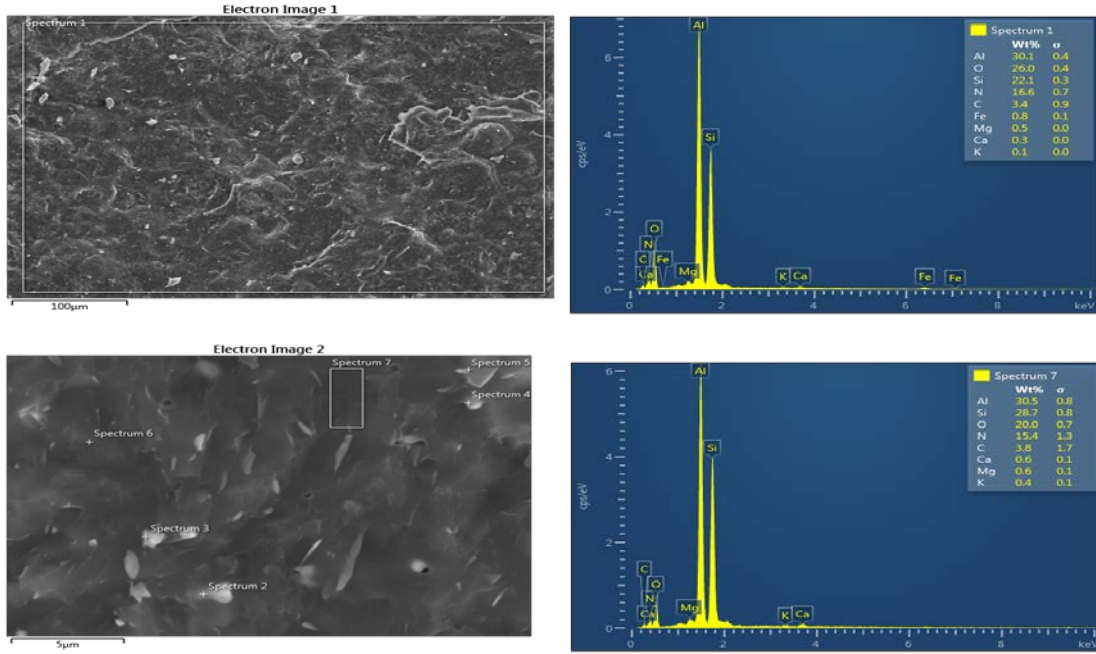
ნახაზზე	წარმოდგენილია	CH-6	კომპოზიტის
მიკრორენტგენოსპექტრული	ანალიზი spectrum1	მონაკვეთზე	და
შემადგენელ ელემენტთა სქემა,	მათი პროცენტული შემცველობა,		
საიდანაც ჩანს, რომ კომპოზიტის ძირითადი შემადგენელია სიალონი.			
ეს კიდევ ერთხელ ადასტურებს რენტგენოსტრუქტურულ ანალიზის შედეგებს, სადაც მთავარი შემადგენელი ფაზა არის სიალონი. ნახაზზე 28 სიალონის შემცველი ელემენტების: სილიციუმის, ალუმინის, ჟანგბადის და აზოტის პროცენტული შემცველობაა მოცემული. ასევე დაფიქსირებულია ელემენტი ნახშირბადი, რომელიც SiC-ს შემცველობაზე მიანიშნებს. ჟანგბადის გაზრდილი რაოდენობა და ელემენტ ალუმინის შემცველობა ასახავს, როგორც სიალონის, ასევე კორუნდის არსებობას კომპოზიტში.			



ნახ. 29. CH-6 კომპოზიტის მიკრორენტგენოსპექტრული ანალიზი

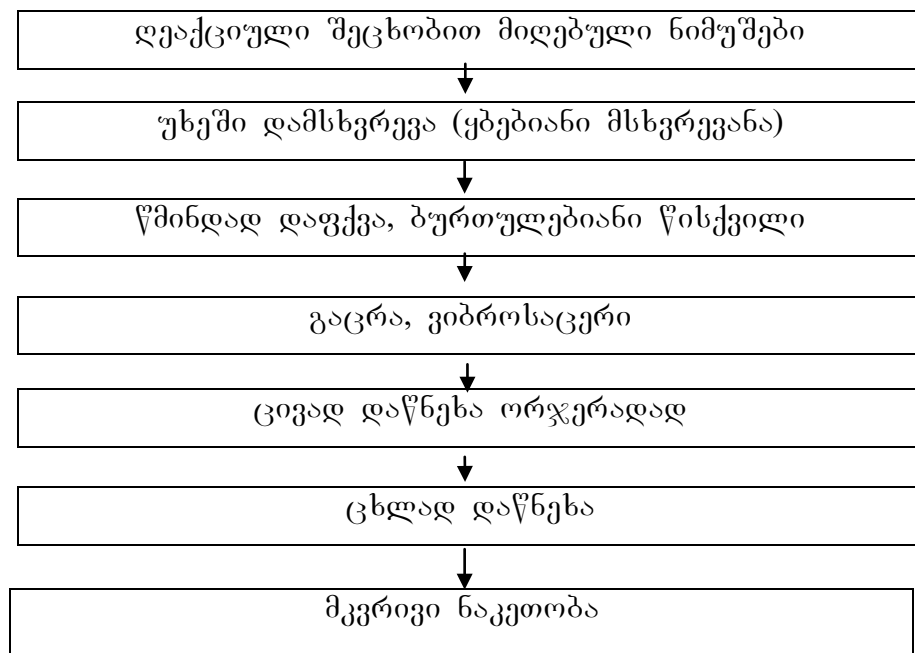
წარმოდგენილია ელემენტთა შემცველობის ამსახველი სქემები შედარებით მოკლე უბნებზე spectrum 2, 3. ნახაზიდან ჩანს ძირითადი ფაზების სიალონის, სილიციუმის კარბიდის და კორუნდის შემადგენელი ელემენტების პროცენტული შემცველობა. ყველა უბანზე

პროცენტული თანაფარდობა თითქმის ერთნაირია, რაც მიანიშნებს მიღებული კომპოზიტის CH-8-ის ერთგვაროვან სტრუქტურაზე.



ნახ. 30. CH-8 კომპოზიტის მიკრორენტგენსპექტრული ანალიზი  
ნახაზზე წარმოდგენილი წერტილების მიკრორენტგენო-სტრუქტურული ანალიზი თვალსაჩინო სურათს იძლევა სწორედ იმ წერტილებში არსებული ფაზის შემადგენელი ელემენტების შემცველობის შესახებ, საიდანაც ჩანს, რომ CH-8 კომპოზიტის ძირითადი შემადგენელი ფაზებია: სიალონი და კორუნდი.

ცხლად დაწესებილი ნიმუშების წარმოების ტექნოლოგიური სქემა



ჩავატარეთ ექსპერიმენტი ცხელი დაწნებების მეთოდით CH-8 და CH-6 D კომპოზიტების მისაღებად 1650 და  $1750^{\circ}\text{C}$ -ზე შესაბამისად. საწყის კომპონენტებს დაემატა ტიტანისა და ცირკონიუმის დიბორიდები. (ცხრ. 11)

შევისწავლეთ აღნიშნული კომპოზიტების ფიზიკურ-ტექნიკური თვისებები, რომელთა მახასიათებლები წარმოდგენილია ცხრილში 12, ცხრილის მონაცემებიდან ჩანს, რომ CH6-D-სიმტკიცის ზღვარი კუმშვისას 1517 სკ, მპა, CH-8-1614 სკ, მპა.

#### ცხრილი 11. ნარევის შედგენილობა

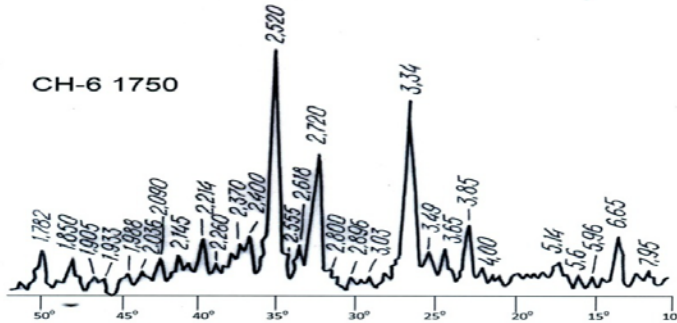
კომპოზიტის ინდექსი	საწყისი კომპონენტის შემცველობა, მას. %											
	აოლინი პროსიანაი ა (უკრაინა)	Al	Al <sub>2</sub> O <sub>3</sub>	SiC	Si	პერლიტი არაგაცის (სომხეთი)	Y <sub>2</sub> O <sub>3</sub>	M gO	პოლოგ ის თიხა (უკრაინ ა)	TiB <sub>2</sub>	ZrB <sub>2</sub>	
CH-8	15	25	30	-	27	3	2	1	5	-	-	
CH-6 D	15	20	20	20	22	3	2	1	5	3	3	

#### ცხრილი 12. ცხლად დაწნების ნიმუშების ფიზიკურ-ტექნიკური მახასიათებლები

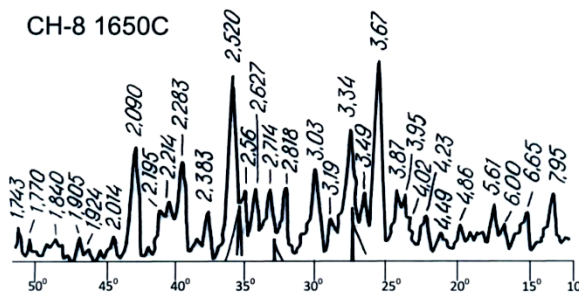
კომპოზიტის ინდექსი	დია ფორიანობა w, %	საერთო ფორიანობა, Π, %	სიმკვრივე, ρ, გ/სმ <sup>3</sup>	დაწნე ბების წევა, მპა	სიმტკიცის ზღვარი კუმშვისას, სკ, მპა	სიმტკიცის ზღვარი დუნცისას, სლ, მპა
CH6+TiB <sub>2</sub> , ZrB <sub>2</sub> ( $1750^{\circ}$ )	0,08	0,27	3,11	30	1517	515
CH-8 ( $1650^{\circ}$ )	0,00	0,02	3,21	30	1614	456

ფაზური შედგენილობის დასადგენად ჩავატარეთ კომპოზიტების CH-6 და CH-8-ის კვლევა რენტგენოსტრუქტურული, ელექტრონული

მიკროსკოპისა და მიკრორენტგენოსპექტრული ანალიზების მეთოდებით.



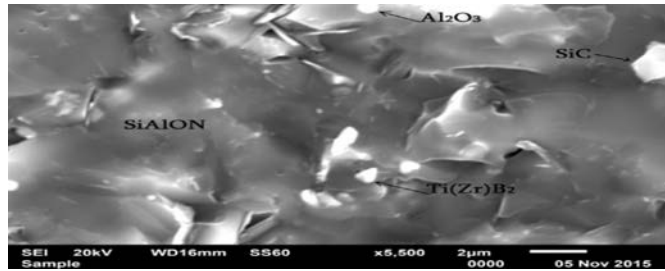
ნახ. 31. CH-6 კომპოზიტის X-ray ( $1750^{\circ}\text{C}$ )



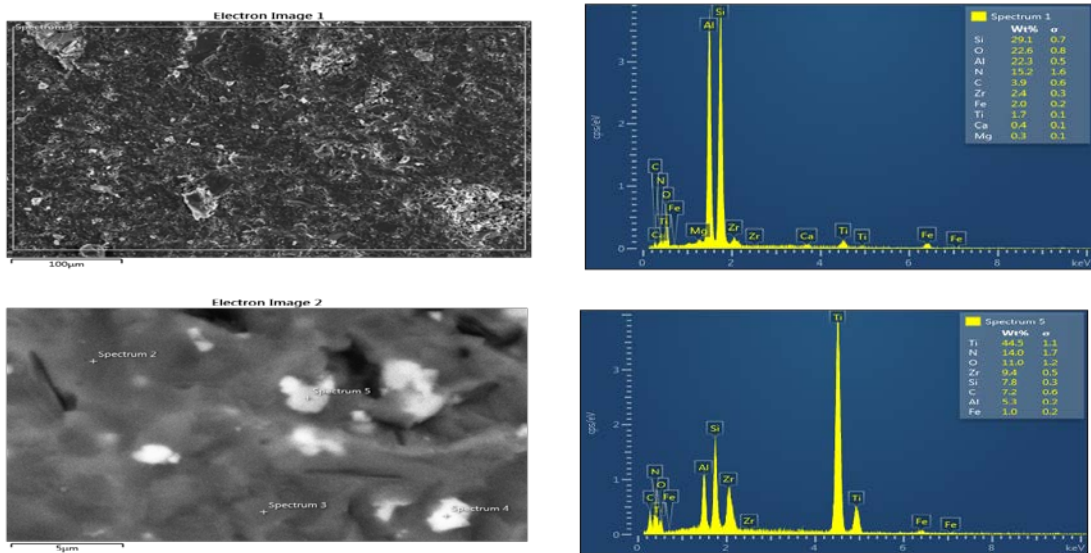
ნახ. 32 . CH-8 კომპოზიტის X-ray ( $1650^{\circ}\text{C}$ )

რენტგენოსტრუქტურული ანალიზის (ნახ. 31, 32) შედეგებით CH-6 კომპოზიტის ძირითადი ფაზებია სიალონი, სილიციუმის კარბიდი და კორუნდი, ხოლო CH8-ის – სიალონი და კორუნდი.

ნახაზებზე 33 და 34 წარმოდგენილია ელექტრონული მიკროსკოპისა და მიკრორენტგენოსპექტრული ანალიზების შედეგები სიადანაც ჩანს, რომ კომპოზიტების ძირითადი ფაზები უცვლელია  $1600^{\circ}\text{C}$ -ზე დაწესებილ ნიმუშებთან შედარებით. CH-6 D-ის-მატრიცას წარმოადგენს  $\beta$  სიალონი, რომელიც განმტკიცებულია სილიციუმის კარბიდისა და კორუნდის კრისტალებით. მიკრორენტგენოსპექტრული ანალიზი აჩვენებს სიალონის შემცველ ელემენტებთან ერთად ტიტანისა და ცირკონიუმის დიბორიდების შემცველობას.



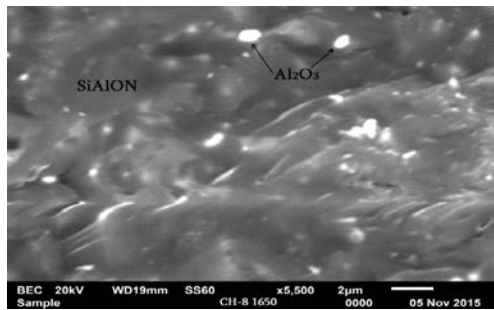
ნახ. 33. CH-6 D კომპოზიტის ელექტრონულ-მიკროსკოპული სურათი X 5500



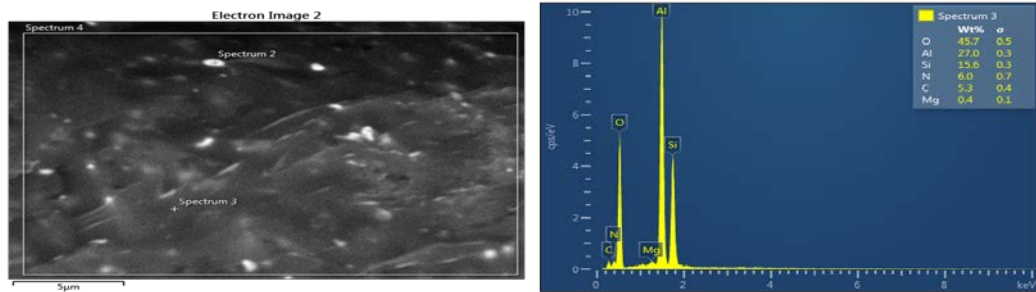
ნახ. 34. CH6-D კომპოზიტის მიკრორენტგენოსპექტრული ანალიზი

ნახაზზე წარმოდგენილია მონაკვეთი spectrum 1 და ამ მონაკვეთის მიკრორენტგენოსპექტრული ანალიზის მონაცემები. ელემენტების Si, O, Al, N,C, Zr,Ti პროცენტული შემცველობა ადასტურებს ამ მონაკვეთზე მატრიცის სახით ბეტა სიალონის, მასში განაწილებული სილიციუმის კარბიდის, კორუნდის და ტიტანისა და ცირკონიუმის დიბორიდების არსებობას. ამავე ნახაზზე მოცემულია მონაკვეთი spectrum 1-ის მოკლე უბნების (წერტილების) 5 შემადგენელი ელემენტების სქემა, სადაც ძირითად ფაზებთან ერთად-ტიტანისა და ცირკონიუმის დიბორიდებია.

ელექტრონული მიკროსკოპისა და მიკრორენტგენოსპექტრული ანალიზები CH-8 კომპოზიტის წარმოდგენილია ნახ. 35. შედარება იმავე კომპოზიტის  $1600^{\circ}\text{C}$  გამომწვარ ნიმუშებთან, როგორც ანალიზებიდან ჩანს გვიჩვენებს  $50^{\circ}\text{C}$  მომატებით ძირითადი ფაზები ჟევლელი რჩება. იგივე სურათია მიღებული მიკრორენტგენოსპექტრული ანალიზით (ნახ. 36).



ნახ. 35. CH-8 კომპოზიტის ელექტრონულ-მიკროსკოპული სურათი, X 5500



ნახ. 36. CH-8 კომპოზიტის მიკრორენტგენსპექტრული ანალიზი

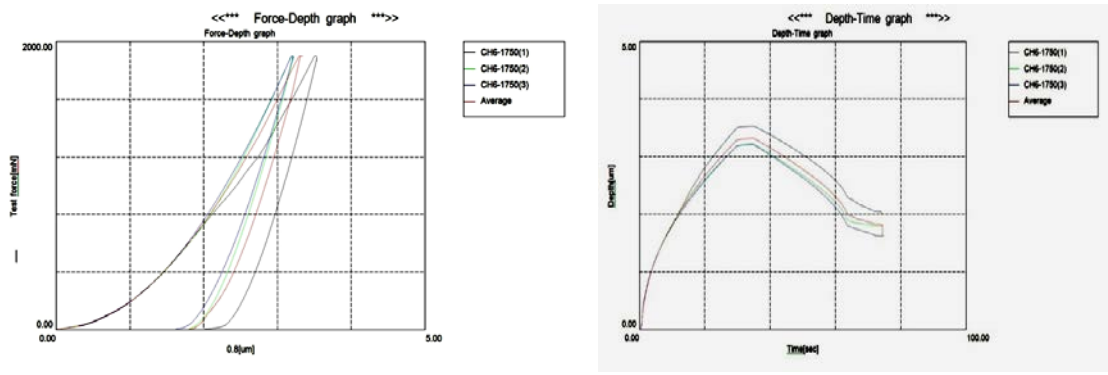
ელექტრონული მიკროსკოპისა და მიკრორენტგენსპექტრული ანალიზით მიღებული შედეგები ორივე კომპოზიტის შემთხვევაში ადასტურებს რენტგენსტუქტურული ანალიზის მონაცემებს.

განისაზღვრა ცხლად დაწნებით კომპოზიტების CH-6 D- 1750°C და CH-8 1650°C-ზე მიღებული ნიმუშების დინამიური მიკროსისალე და დრეკადობის მოდული. შედეგები წარმოდგენილია ნახაზზე 37,38 და 39. CH-6 D 1750°C -ზე HV-12.78 გვა, CH- 8 1650°C-ზე HV-11.61 გვა (ცხრ. 13 და ცხრ. 14).

### ცხრილი 13. ტესტის მონაცემები CH6-1750

Test mode	Load-unload	Sample No	CH6-1750
Sample name	CH6-1750	Minimum force	1.96[mN]
Test force	200 [gr]	Hold time at load	5[sec]
Loading speed	1.0(70.0670[mN/sec])	Test count	3
Hold time at unload	3[sec]	Parameter	20
Comment	24.11.15.		
Poisson's ratio	0.250		

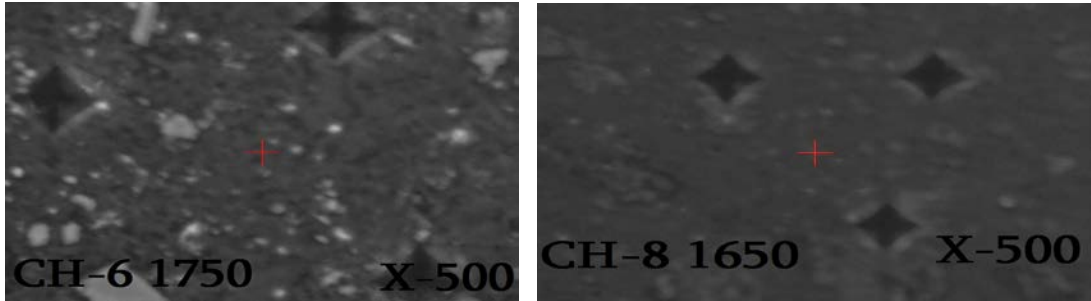
SEQ	Fmax	hmax	DHV-1	Eit	Length	HV	Data name
	[mN]	[um]		GPa	[um]	GPa	
1	1908.38	3.5481	755.667	167	18.205	10.88	CH6-1750(1)
2	1908.22	3.2285	912.574	177	16.248	13.66	CH6-1750(2)
3	1907.15	3.2201	916.834	171	16.175	13.78	CH6-1750(3)
Average	1907.92	3.3322	861.692	172	16.876	12.78	



ა.

ბ.

ნახ. 37. დატვირთვა-განტვირთვის მრუდები: ა) ინდენტორზე დატვირთვის ძალა ბ) ინდენტორის მასალაში შეღწევის სიღრმე



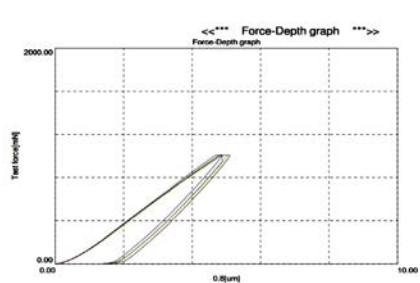
ნახ. 38. Si-Al-O-N მატრიცაში აღებული ანაბეჭდი  
(CH-6 1750<sup>0</sup>C, CH-8 1650<sup>0</sup>C)

ანაბეჭდების საზღვრები მკვეთრია, ანაბეჭდი ვრცელდება არა მარტო მატრიცაზე, არამედ მარცვლებზეც. ბზარები არ შეინიშნება, რაც მიანიშნებს, რომ მიღებულკომპოზიტს გააჩნია უნარი წინააღმდეგობა გაუწიოს ბზარების წარმოქმნის შემთხვევაში მის გავრცელებას.

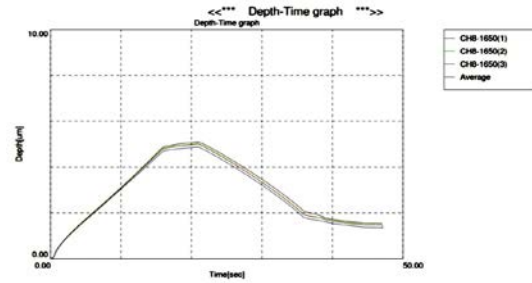
#### ცხრილი 14. ტესტის მონაცემები CH-8-1650

Test mode	Load-unload	Sample No.	CH8-1650
Sample name	CH8-1650	Minimum force	1.96[mN]
Test force	200 [gr]	Hold time at load	5[sec]
Loading speed	1.0(70.0670[mN/sec])	Test count	3
Hold time at unload	3[sec]	Parameter	20
Comment	24.11.15.		
Poisson's ratio	0.250		
Indenter type			

SEQ	Fmax	hmax	DHV-1	Eit	Length	HV	Data name
	[mN]	[um]		GPa	[um]	GPa	
1	1007.44	5.1000	193.077	256	12.937	11.38	CH8-1650(1)
2	1007.63	5.0202	199.302	257	12.969	11.32	CH8-1650(2)
3	1007.46	4.8733	211.462	268	12.532	12.13	CH8-1650(3)
Average	1007.51	4.9978	201.280	260	12.813	11.61	



ა.



ბ.

ნახ. 39. დატვირთვა-განტვირთვის მრუდები: ა ) ინდენტორზე დატვირთვის ძალა ბ) ინდენტორის მასალაში შეღწევის სიღრმე

## დასკვნა

- სიალონის მისაღები მეთოდის შერჩევის მიზნით ჩატარებულია კვლევა კარბო და ალუმინო-ერმული მეთოდებით. შესწავლილია:
  1. კაოლინის;
  2. კაოლინ-გრაფიტის ნარევის ( $C_1$ );
  3. კაოლინ-ალუმინის პუდრის ( $C_2$ )
  - და 4. კაოლინ-გრაფიტი-ალუმინის პუდრის ნარევების  $1400^{\circ}\text{C}$ -ზე აზოტის გარემოში გამოწვის შედეგად მიღებული ნიმუშების ფიზიკურ-ტექნიკური თვისებები, ხოლო რენტგენოსტრუქტურული ანალიზით ნიმუშების ფაზური შედგენილობა.
- დადგენილია, რომ  $C_1$ ;  $C_2$ ;  $C_3$  შედგენილობის ნიმუშების აზოტის გარემოში გამოწვისას,  $1400^{\circ}\text{C}$ -ზე მიღება  $X$ -სიალონი მულიტის სტრუქტურით. შემდგომი კვლევებისათვის შერჩეულია ალუმინო-ერმული მეთოდი.
- სილიციუმის კარბიდისა და კორუნდის ალუმინის პუდრასთან ნარევის ( $C_4$ ;  $C_6$ ;) აზოტის არეში გამოწვით  $1350$ ,  $1400$  და  $1450^{\circ}\text{C}$ -ზე მიღებულია ნიმუშები მაღალი საექსპლოაციო ფიზიკურ-ტექნიკური თვისებებით.  $C_4$ -ის ფაზური შედგენილობაა  $\text{Al}_2\text{O}_3$  –  $X$  სიალონური შემკვრელი;  $C_6$  -ის  $\text{SiC}$   $X$  სიალონური შემკვრელი.
- $\text{SiC}$  და  $\text{Al}_2\text{O}_3$ -ზე ალუმინის პუდრასთან ერთად ელემენტარული სილიციუმის ნარევით  $1400^{\circ}\text{C}$ -ზე გამოწვით აზოტის გარემოში, მიღებულია  $C_5$  და  $C_7$  კომპოზიტები  $\text{Al}_2\text{O}_3$ - სიალონური შემკვრელით და  $\text{SiC}$ - სიალონური შემკვრელით.
- $C_5$  – ნიმუშებში  $\text{SiAlON}$ -ი მიღება ნიტრიდული სტრუქტურით ე. ი. წარმოიქმნა  $\beta$ - სიალონი და  $C_7$  -  $\text{O}^1$ -სიალონი- ოქსინიტრიდული სტრუქტურით
- რეაქციული შეცხობის მეთოდით მიღებულია კომპოზიტები  $\text{CH}-1, \text{CH}-2$ ,  $\text{CH}-3$ . შესწავლილია მათი მიღებისას მიმდინარე ფიზიკურ-ქიმიური პროცესები რენტგენოსტრუქტურული ანალიზით  $800-1500^{\circ}\text{C}$ -ზე  $100^{\circ}\text{C}$  ინტერვალით, საიდანაც გამოჩნდა თუ რომელ ტემპერატურაზე წარმოიქმნება ფაზები, რომლებიც სიალონის საბოლოოდ ჩამოყალიბებაში მონაწილეობენ. ქიმიური პროცესები სამივე კომპოზიტის შემთხვევაში ერთიდაიგივე სქემით მიმდინარეობს.

- რეაქციული შეცხობის მეთოდით მიღებულია CH- 6, CH- 7 და CH-8 კომპოზიტები. მაღალი ფიზიკურ-ტექნიკური თვისებებით.
- CH- 6, CH- 7 და CH-8 კომპოზიტების ფაზური შედგენილობა შესწავლილია რენტგენოსტრუქტურული, ელექტრონული მიკროსკოპიის და მიკრორენტგენოსპექტრული ანალიზებით. სამივე კომპოზიტი მატრიცა  $\beta$ - სიალონია, CH- 6-ის მატრიცაში განაწილებულია სილიციუმის კარბიდისა და კორუნდის; CH-7-ში – სილიციუმის კარბიდის და CH-8-ში–კორუნდის კრისტალები.
- რეაქციული შეცხობის მეთოდით მიღებული ნიმუშები (CH-6, CH-8) გადაიფქვა, შემდეგ დაყალიბდა  $1600^{\circ}\text{C}$  ტემპერატურაზე ცხლად დაწნეხვის მეთოდით 30 მასა წნევის ქვეშ.
- შესწავლილია ცხლად დაწნეხებილი ნიმუშების ფიზიკურ-ტექნიკური მახასიათებლები და ფაზური შედგენილობა.
- მიღებული მასალების დინამიური მიკროსისალე და დრეკადობის მოდული განისაზღვრა თანამედროვე ISO-14577 საერთაშორისო სტანდარტის მოთხოვნების შესაბამის დინამიურ ულტრა მიკროსისალის ტესტერზე DUH211S.
- მოყვანილი გრაფიკებიდან ჩანს, რომ მიუხედავად, ორივე კომპოზიტის მრავალფაზიანობისა, დამოკიდებულება “ძალა-ჩაღრმავება” მსგავსია, კერძოდ, სხვადასხვა ადგილას აღებული ანაბეჭდის პიკები ერთმანეთს ემთხვევა. ეს ნიშნავს ამ თვისების ერთგვაროვნობას მასალების მთელ მოცულობაში.
- მიღებული კომპოზიტები ხასიათდებიან მაღალი სისალით, სიმკვრივითა და სიმტკიცით. CH-6 –სათვის სისალე შეადგენს : HV - 11.39 GPa ; სიმკვირვე  $\rho$ : 2,97  $\text{g}/\text{cm}^3$ ; სიმტკიცე კუმშვისას,  $\sigma_{\text{კ}}$ - 1940 მპა; სიმტკიცე ღუნვისას, სლ- 490 მპა. CH-8-სათვის შესაბამისად : HV-14.80 GPa; 3,17  $\rho$ ,  $\text{g}/\text{cm}^3$ ;  $\sigma_{\text{კ}}-1614$ მპა; სლ-356 მპა.
- ჩატარებულია მიკრორენტგენოსპექტრული ანალიზი ორივე კომპოზიტისათვის მონაკვეთზე Spectrum 1 და მოკლე უბნებზე 2,3 (CH-6), CH- 8-სათვის Spectrum 1 მოკლე უბნებზე 1,7.

- რენტგენოსტრუქტურული, ელექტრონული მიკროსკოპის და მიკრორენტგენოსკექტრული ანალიზების საფუძველზე დადგინდა, რომ ფაზური შედგენილობა ცხლად დაწნებილ ნიმუშებში არ შეიცვალა.
- შესწავლილია, CH-6 1750<sup>0</sup>C-ზე დიბორიდების შემცველი( TiB<sub>2</sub> ; ZrB<sub>2</sub>) და CH-8 1650<sup>0</sup>C-ზე მიღებული კომპოზიტების ფაზური შედგენილობა და ფიზიკურ-ტექნიკური თვისებები. მიღებულია ორივე კომპოზიტი ნულოვანი დია ფორიანობით და მაღალი სიმკვრივით.

**დისერტაციის ძირითადი შედეგები გამოქვეყნებულია შემდეგ შრომებში:**

1. კოვირიძე ზ., ნიჟარაძე ნ., დარახველიძე ნ., ტაბათაძე გ., მესტვირიშვილი ზ., გეოპოლიმერის ბაზაზე აზოტის გარემოში მიმდინარე კარბო და ალუმინოერმული პროცესები, საქართველოს კერამიკოსთა ასოციაციის უურნალი “კერამიკა” № 1 (31), 2014, გვ. 32-36.
2. კოვირიძე ზ., ნიჟარაძე ნ., ტაბათაძე გ., ჭეიშვილი თ., დარახველიძე ნ., მესტვირიშვილი ზ., მშვილდაძე მ., ნიკოლეიშვილი გ., ნიტრო-ალუმინოერმული პროცესებით სიალონების მიღება, საქართველოს კერამიკოსთა ასოციაციის უურნალი “კერამიკა” № 2 (32), 2014, გვ. 23-31.
3. Kovziridze Z., Nizharadze N., Tabatadze G., Cheishvili T., Mestvirishvili Z., Nikoleishvili E., Mshvildadze M., Darakhvelidze N., Obtaining of Nanocomposites in SiC-SiAlON and Al<sub>2</sub>O<sub>3</sub>-SiAlON System by Alumothermal Processes, Journal of Electronics Cooling and Thermal Control, 2014, 4, <http://www.scirp.org/journal/jectc> Published Online December 2014 in SciRes USA, Delaware p.1- 13.
4. Kovziridze Z., Nizharadze N., Mestvirishvili Z., Darakhvelidze N., Smart Materials in the SiAlON-SiC-Al<sub>2</sub>O<sub>3</sub>-TiB<sub>2</sub>-ZrB<sub>2</sub> System, 2<sup>nd</sup> Annual world Congress of Smart Materials (WCSM-2016) 4-6 March, 2016, Singapore.
5. Kovziridze Z., Nizharadze N., Tabatadze G., Mestvirishvili Z., Darakhvelidze N., Obtaining of SiAlONs via alum-thermal and nitrogen processes, 14<sup>th</sup> International Conference of European Ceramic Society, 21-25 June, Toledo, Spain Poster 2348. 2015.
6. Kovziridze Z., Nizharadze N., Tabatadze G., Mestvirishvili Z., Darakhvelidze N., Application of Alum-Thermal and Nitrogen methods for obtaining Nano-composites in the systems of SiC-SiAlON and Al<sub>2</sub>O<sub>3</sub>-SiAlON, Innovative Technologies in

Metallurgy and Materials science, Tbilisi, Georgia Georgian Technical University,  
International conference 16-18July, 2015.

7. Kovziridze Z., Nizharadze N., Tabatadze G., Mestvirishvili Z., Darakhvelidze N.,  
Smart Materials in the SiAlON-SiC-Al<sub>2</sub>O<sub>3</sub> System, Journal of Material Science and  
Engineering, International Conference and Expo on Ceramics. Chicago, USA, August  
17-18, 2015.

8. კოვზირიძე ზ., ნიჟარაძე ნ., დარახველიძე ნ., გაბატაძე გ.,  
მესტვირიშვილი ზ., ალუმინორმული და აზოტირების მეთოდების  
გამოყენება ნანოკომპოზიტების მისაღებად SiC-SiAlON და Al<sub>2</sub>O<sub>3</sub>-SiAlON  
სისტემებში, საგამომცემლო სახლი “ტექნიკური უნივერსიტეტი”, 2016,  
გვ. 146.

## **Abstract**

The goal of the research is development of innovative technologies for obtaining SiAlON-containing composites with high exploitation properties. Innovation is obtaining of target phase composition SiAlON in aluminum thermal and nitriding complex process by the method of reactive sintering and further hot pressing.

In recent decades intense works are in progress for obtaining ceramic composites which would possess both high exploitation properties of oxide as well as oxygen-free compounds.

Ability of silicon nitride to dissolve in its crystalline matrix up to 60 mass%  $\alpha\text{-Al}_2\text{O}_3$ , results in obtaining new composite materials, which are metal oxides solid solutions in nitrides and according to their composition they were given the name Sialon – Si-Al-O-N.

According to their structure SiAlONs are nano- or microcrystalline materials, Their phase composition ( $\text{Si}_3\text{N}_4$ , AlN,  $\text{Al}_2\text{O}_3$ , SiC,  $\text{Si}_2\text{ON}_2$ ) and high energy of binding determine high strength, thermal resistance, anti-corrosion and other best exploitation properties. These composites don't melt up to  $3200^{\circ}\text{C}$ . They are attributed great significance because they can be in composite materials composition as SiAlON binders. Due to their high exploitation properties they are often called super ceramics. The objective was to select raw material, which would enable us to use components newly formed by the method of reactive sintering, since in the process of obtaining of solid sialon solution, inculcation of  $\alpha\text{-Al}_2\text{O}_3$  and AlN in  $\beta\text{-Si}_3\text{N}_4$ - is significantly simplified, when its crystalline skeleton is in the process of formation yet. This is why silica-alumina material – kaolin, technical carbon, aluminum powder and elemental silicon were selected.

We have studied: mixes for obtaining SiAlONs by carbo- and alumothermal methods:  
a) kaolin-aluminum powder; b) kaolin aluminum powder-elemental silicon; c) kaolin-carbon and physical-chemical processes going on in the process of obtaining SiAlONs by carbo- and alumothermal methods at heating in nitrogen medium.

- Investigations were carried out to obtain silicon carbide and corundum refractory composite by SiAlON binder. SiC-X with SiAlON binder and  $\text{Al}_2\text{O}_3\text{-X}$  with SiAlON binder were obtained;

- by adding elemental silicon together with aluminum powder to SiC and Al<sub>2</sub>O<sub>3</sub>- at sintering at 1400<sup>0</sup>C in nitrogen medium the composites with Al<sub>2</sub>O<sub>3</sub> – β sialon binder and SiC - O<sup>1</sup> with sialon binder were obtained
- At the next stage composites CH-1, CH-2 and CH-3 were obtained by the method of reactive sintering; physical-chemical processes going on at their obtaining were studied in temperature interval 800-1500<sup>0</sup>C . Processes run by the same scheme in all three composites.
- Specimens obtained by reactive sintering (CH-6, CH-7, CH-8) were milled and molded at 1600-1650<sup>0</sup>C temperature by hot pressing under 30 MPa. Phase composition of the obtained composites were studied by X-ray diffraction method, electric microscope and micro X-Ray diffraction analysis.
- Obtained results proved that matrix of CH-6, CH-7 and CH-8 composite is β-SiAlON. CH-6 matrix contains silicon carbide and corundum, CH-7 – silicon carbide and CH-8 -corundum crystals. Composites are characterized by high tightness/density and strength.
- Technological schemes were developed for reactive sintering and hotly pressed composites production

The obtained composites can be used in rocket-spatial technology, as composites coatings for high-temperature aggregates, as bedding for high-temperature furnaces, for jackets of thermocouples, metal cutting tools, metal and stone processing, in dental drills, bearings et al.